

# مروزی بر روشهای نهاننگاری در JPEG و بررسی امنیت آنها

فاطمه السادات جمالی دینان

محمد رضایی، مریم بیگزاده و الهه بیات  
پژوهشکده پردازش هوشمند علام

## چکیده

فرمت JPEG پرکاربردترین قالب تصویری در ارتباطات دیجیتال است و در طی سال‌های اخیر روشهای نهاننگاری متنوعی برای آن ارائه شده است. هدف از این تحقیق معرفی و ارائه اطلاعات همه‌جانبه و کاملی در مورد روشهای نهاننگاری در تصاویر JPEG و دسته‌بندی این روشهای ارائه‌ی راهکارهایی برای بالابدن امنیت آن‌ها با توجه به ساختار پوشانه می‌باشد. در این راستا عوامل تأثیرگذار در امنیت، روشهای نهاننگاری در JPEG که وابسته به پوشانه می‌باشد، مثل اثر دوبار فشرده‌سازی، فرکانس مکانی، ضربه‌کیفیت و... شناسایی شده و به صورت تئوری و تجربی مورد ارزیابی قرار گرفته است. علاوه‌بر این کلیه‌ی الگوریتم‌ها و نرم‌افزارهای نهاننگاری موجود در این فرمت، معروفی شده و از دیدگاه‌های مختلف، ارزیابی و دسته‌بندی شده‌اند. برخی از این الگوریتم‌ها در نرم‌افزار Stegotest پیاده‌سازی شده است و اثر تخریب ناشی از نهاننگاری در روشهای موجود مقایسه شده است.

واژگان کلیدی: تصاویر JPEG، سیستم نهاننگاری، نهان‌کاوی، امنیت.

بیچیدگی<sup>۱</sup> برای ارزیابی و مقایسه‌ی الگوریتم‌های جاسازی توسط پتیکولاس (فابین، پتیکولاس ۱۹۹۹، ص ۵۷۴-۵۷۶) تعریف شده است؛ که در این میان چهار شاخص اصلی ظرفیت، امنیت (به مفهوم عدم کشف وجود پیام در رسانه نهان‌نگار حتی به صورت احتمالی)، شفافیت و مقاومت اهمیت ویژه‌ای دارند.

در هر حال باید توجه داشت که امکان بهینه‌سازی تمام شاخص‌ها، همزمان وجود ندارد و با بهبود یکی، امکان تضعیف یک یا چند شاخص دیگر وجود خواهد داشت.

تصاویر، مهم‌ترین رسانه‌ی مورد استفاده، به خصوص در اینترنت هستند (اندرسون ۱۹۹۱، ص ۴۷۴-۴۸۱)، که با توجه به محدودیت در کی‌بصري انسان از تغییرات صورت گرفته در آن‌ها، به عنوان یکی از بهترین رسانه‌های پوشانه در نهان‌نگاری معرفی شده‌اند. در این میان، تصاویر JPEG به

## ۱- مقدمه

نهان‌نگاری<sup>۲</sup> واژه‌ای یونانی به معنی نوشته‌ی استتار شده می‌باشد؛ و در واقع علم و هنر پنهان کردن ارتباط به وسیله‌ی قراردادن پیام در یک پوشانه<sup>۳</sup> است؛ به گونه‌ای که کمترین تغییر قابل کشف را در آن ایجاد نماید و نتوان وجود پیام پنهانی را در رسانه، حتی به صورت احتمالی آشکار ساخت (ساتیش ۲۰۰۴، ص ۵۷۱-۵۹۰).

در برابر نهان‌نگاری، دانش نهان‌کاوی<sup>۴</sup> که هنر کشف وجود ارتباط پنهان است، قرار دارد. هدف از نهان‌کاوی، تمیزدادن رسانه‌های حاوی اطلاعات پنهان از رسانه‌ی عادی است.

به طور کلی در سیستم‌های اختفای اطلاعات، چند ویژگی مهم از جمله مقاومت<sup>۵</sup>، ظرفیت<sup>۶</sup>، امنیت<sup>۷</sup>، شفافیت<sup>۸</sup>

<sup>1</sup> Steganography

<sup>2</sup> Cover image

<sup>3</sup> Steganalysis

<sup>4</sup> robustness

<sup>5</sup> capacity

$$Y = 0.299R + 0.587G + 0.114B \quad (1)$$

$$C_b = -0.1687R - 0.3313G + 0.5B + 128$$

$$C_r = 0.5R - 0.4187G - 0.0813B + 128$$

مرحله‌ی بعدی، نمونه‌برداری از مؤلفه‌های رنگ و کاهش وضوح مکانی آن‌ها به منظور بهینه‌سازی فرآیند فشرده‌سازی است. بعد از نمونه‌برداری، هر کاتال به قالب‌های  $8 \times 8$  تقسیم می‌شود و مؤلفه‌های Y و Cb و Cr هر قالب با استفاده از تبدیل کسینوسی گستته‌ی هنجار شده‌ی استاندارد، به حوزه‌ی فرکانس برده می‌شوند.

$$G_{u,v} = \alpha(u)\alpha(v) \times \quad (2)$$

$$\sum_{x=0}^7 \sum_{y=0}^7 g_{x,y} \cos\left[\frac{\pi}{8}(x+\frac{1}{2})u\right] \cos\left[\frac{\pi}{8}(y+\frac{1}{2})v\right]$$

که در آن  $g_{x,y}$  مقادیر پیکسل‌ها در مختصات x و y، و  $G_{u,v}$  مقادیر ضرایب DCT در مختصات u و v می‌باشد. u و v معرف فرکانس‌های مکانی افقی برای مقادیر صحیح علاوه‌بر این، کلیه‌ی روش‌های موجود نهان‌نگاری را در تصاویر JPEG، بررسی و آن‌ها را از دیدگاه‌های مختلفی طبقه‌بندی کرده‌ایم؛ که این طبقه‌بندی‌ها در نوع خود، جدید و بی‌نظیر است. در ادامه در بخش دوم، استاندارد JPEG را مورد بررسی قرارداده‌ایم. در بخش سوم به معرفی عوامل مؤثر در امنیت سیستم نهان‌نگاری در تصاویر JPEG پرداخته‌ایم. بخش چهارم به معرفی الگوریتم‌های نهان‌نگاری در تصاویر JPEG اختصاص دارد و در بخش پنجم نتیجه‌گیری مباحث مطرح شده بیان شده است.

$$\alpha(n) = \begin{cases} \sqrt{\frac{1}{8}} & n = 0 \\ \sqrt{\frac{2}{8}} & \text{otherwise} \end{cases} \quad (3)$$

سپس فرآیند چندی‌سازی با تقسیم هر جزء فرکانسی بر یک ثابت و گردکردن آن به نزدیک‌ترین عدد صحیح انجام می‌شود. ماتریس چندی‌سازی مؤلفه‌ی شدت روش‌نایی از رابطه‌ی چهار و ماتریس مؤلفه‌های رنگ از رابطه‌ی پنج به دست می‌آید:

$$C_y(w_x, w_y) = \quad (4)$$

16	11	10	16	24	40	51	61
12	12	14	19	26	58	60	55
14	13	16	24	40	57	69	56
14	17	22	29	51	87	80	62
18	22	37	56	68	109	103	77
24	35	55	64	81	104	113	92
49	64	78	87	103	121	120	101
72	92	95	98	112	100	103	99

دلیل داشتن حجم کم و کیفیت مناسب، بیشتر از سایر فرمتهای تصویری در اینترنت و صفحات وب مورد استفاده قرار می‌گیرند (المحمد، ۲۰۰۱، ص ۵۴۹-۵۴۶)، در بررسی اخیری که بر روی تصاویر موجود در اینترنت از طریق سایت google انجام دادیم، مشخص شد که ۴۴٪ تصاویر موجود در اینترنت از نوع JPEG، ۲۳٪ GIF، ۲۲٪ PNG و ۸٪ BMP و بقیه متعلق به سایر فرمتهای مثل MNG, PGM, SWF, TIF ... می‌باشند. استفاده‌ی روزافزون از فرمت JPEG باعث شده تا الگوریتم‌های نهان‌نگاری و نهان‌کاوی مربوط به این فرمت از سایر فرمتهای بیشتر و پرکاربردتر باشد.

در این مقاله عوامل مؤثر را بر امنیت سیستم‌های نهان‌نگاری در فرمت JPEG، با توجه به ساختار پوشانه مورد بررسی و مطالعه قرار داده‌ایم؛ و اثر برخی از آن‌ها را به صورت ریاضی و تجربی اثبات کرده و بدین ترتیب راهکارهایی نوین برای افزایش امنیت سیستم نهان‌نگاری پیشنهاد داده‌ایم. علاوه‌بر این، کلیه‌ی روش‌های موجود نهان‌نگاری را در تصاویر JPEG، بررسی و آن‌ها را از دیدگاه‌های مختلفی طبقه‌بندی کرده‌ایم؛ که این طبقه‌بندی‌ها در نوع خود، جدید و بی‌نظیر است. در ادامه در بخش دوم، استاندارد JPEG را مورد بررسی قرارداده‌ایم. در بخش سوم به معرفی عوامل مؤثر در امنیت سیستم نهان‌نگاری در تصاویر JPEG پرداخته‌ایم. بخش چهارم به معرفی الگوریتم‌های نهان‌نگاری در تصاویر JPEG اختصاص دارد و در بخش پنجم نتیجه‌گیری مباحث مطرح شده بیان شده است.

## ۲- استاندارد JPEG

با مطالعه ساختار JPEG عوامل متعددی را می‌توان یافت، که در تأمین امنیت نهان‌نگاری در آن مؤثرند. در راستای تأمین این هدف در این بخش در ابتدا استاندارد JPEG را مورد مطالعه و بررسی قرار داده‌ایم.

### ۲-۱- مراحل فشرده‌سازی به روش JPEG

در سال ۱۹۹۲، استاندارد JPEG به منظور فشرده‌سازی تصاویر ثابت<sup>۱</sup> رنگی و سیاه‌وسفید توسط گروه JPEG<sup>۲</sup> معرفی شد؛ در این فرآیند در ابتدا فضای رنگ تصویر از RGB به YCbCr تبدیل می‌شود:

<sup>1</sup> Continuous-tone still images

<sup>2</sup> Joint Photographic Experts Group



جاسازی اطلاعات به گونه‌ای مقاوم در برابر فشرده‌سازی JPEG انجام می‌شود و درنهایت تصویر گنجانه، فشرده می‌شود (فردریک<sup>۱</sup>، ۲۰۰۷، ص ۶۷-۱۱)، سولانکی<sup>۲</sup>، ۲۰۰۶، ص ۵۳-۱۰۰). گروه سوم که عمدی روش‌های نهان‌نگاری در JPEG در این دسته قرار می‌گیرد، شامل روش‌هایی است که با استاندارد JPEG<sup>۳</sup> تطابق یافته‌اند؛ یعنی ابتدا پوشانه به قالب‌های  $8 \times 8$  تقسیم می‌شود و تبدیل DCT روی هر قالب اعمال شده و فرآیند فشرده‌سازی روی آن انجام می‌شود؛ سپس نهان‌نگاری به طور معمول با دستکاری ضرایب DCT قالب‌های  $8 \times 8$  صورت می‌گیرد (چانگ<sup>۴</sup>، ۲۰۰۲، ص ۱۲۳-۱۳۸، لی ۳-۲۰۰)، (مونیرجان<sup>۵</sup>، ۲۰۰۴، ص ۲۱۶-۲۹۱)، (رانگرانگ<sup>۶</sup>، ۲۰۰۶، ص ۳۶۵-۳۶۱)، (سنگ<sup>۷</sup>، ۲۰۰۴، ص ۱۶-۱۴)، (وانگ<sup>۸</sup>، ۲۰۰۹، ص ۳۰-۳۰) در این تحقیق به طور خاص روی عوامل تأثیرگذار در امنیت روش‌های گروه سوم که وابسته به ساختار پوشانه می‌باشد؛ متمرکز شده‌ایم و اثر آن‌ها را به صورت تئوری و تجربی مورد ارزیابی و تحلیل قرار داده‌ایم.

برای تهیه‌ی پایگاه داده‌ی لازم جهت آزمایش و ارزیابی، از یک سری تصویر با بافت متنوع و ابعاد  $3000 \times 3000$ ، که توسط دوربین Nikon تهیه شده بودند، استفاده گردید. از بین تصاویر موجود، تعداد ۲۰۰۰ تصویر برای تأثیرگذار در ابعاد  $670 \times 500$ ،  $500 \times 670$ ،  $720 \times 960$  و  $960 \times 720$  به فرمت BMP ذخیره گردید؛ سپس این تصاویر با ضرایب کیفیت‌های مختلفی چون (۲۵، ۳۰، ۴۵، ۵۰، ۶۰، ۷۰، ۸۰، ۸۵، ۹۰ و ۹۹) به فرمت JPEG تبدیل شدند. به این ترتیب، در مجموع تعداد ۲۰۰۰۰ پوشانه JPEG با ۱۰ ضریب کیفیت مختلف و نیز ۲۰۰۰ تصویر BMP پوششی تولید شد. از این ۲۰۰۰ تصویر در هر مجموعه، ۱۰۰۰ تصویر برای تعلیم مدل‌های SVM و ۱۰۰۰ تصویر برای آزمایش در نظر گرفته شدند.

به منظور بررسی امنیت از یک نرم‌افزار نهان کاو کور استفاده کردہ‌ایم که در آن شانزده مدل را با طبقه‌بندی‌کننده‌ی SVM با مجموع ۱۸۵ ویژگی از ایده‌های الهام گرفته شده از (وانگ<sup>۹</sup>، ۲۰۰۱، ص ۳۰-۳۰)، (پونی<sup>۱۰</sup>، ۲۰۰۷) تعلیم داده‌ایم.

برای اندازه‌گیری خطای آشکارسازی از رابطه‌ی استفاده کردہ‌ایم که در (فردریک<sup>۱</sup>، ۲۰۰۵، ص ۶۷-۱۱)

$$C_{C_x C_y}(w_x, w_y) = \quad (5)$$

17	18	24	47	99	99	99	99
18	21	26	66	99	99	99	99
24	26	56	99	99	99	99	99
47	66	99	99	99	99	99	99
99	99	99	99	99	99	99	99
99	99	99	99	99	99	99	99
99	99	99	99	99	99	99	99
99	92	99	99	112	100	103	99

البته عامل دیگری هم در فرآیند فشرده‌سازی دخالت دارد و آن ضریب کیفیت است. درنهایت ضرایب نهایی از رابطه‌ی شش به دست می‌آیند:

$$F_q(w_x, w_y) = \left\lfloor \frac{F(w_x, w_y)}{S(w_x, w_y)} + \frac{1}{2} \right\rfloor \quad (6)$$

$$w_x, w_y = 0, \dots, 7$$

که در آن  $F(w_x, w_y)$  ضرایب DCT چندی نشده و  $F_q(w_x, w_y)$  ضرایب DCT چندی شده می‌باشد. و  $S(w_x, w_y)$  پله‌های چندی ساز وابسته به فرکانس می‌باشد و از رابطه‌ی ۷ به دست می‌آیند:

$$S(w_x, w_y) = \quad (7)$$

$$\begin{cases} \max\left(\frac{200-2Q}{100}C(w_x, w_y) + \frac{1}{2}, 1\right), & 50 \leq Q \leq 100 \\ \left\lfloor \frac{50}{Q}C(w_x, w_y) + \frac{1}{2} \right\rfloor, & 0 \leq Q \leq 50 \end{cases}$$

که در آن  $Q$  ضریب کیفیت است و  $C(w_x, w_y)$  برای ضرایب شدت روشنایی از رابطه‌ی چهار و برای مؤلفه‌های رنگ از رابطه‌ی پنج به دست می‌آید؛ در خاتمه یک مرحله‌ی کدگذاری مبتنی بر آنتروپی<sup>۱</sup> روی تصویر انجام می‌شود.

### ۳- عوامل مؤثر بر امنیت نهان‌نگاری در تصاویر JPEG

با توجه به ساختار JPEG فضاهای خاصی برای جاسازی اطلاعات در آن وجود دارد. به طور کلی الگوریتم‌های نهان‌نگاری در JPEG را می‌توان به سه گروه اصلی تقسیم‌بندی کرد؛ برخی از روش‌های نهان‌نگاری در JPEG بر اساس ویژگی‌های ساختار فایل ایجاد شده و نهان‌نگاری در آن‌ها در نواحی خاصی از فایل، مثل سرآیند<sup>۲</sup> فایل و... انجام می‌شوند. گروه دوم شامل روش‌هایی است که در آن‌ها

<sup>1</sup>Entropy encoding

<sup>2</sup>Header



۳- اگر تغییری در ضرایب AC مؤلفه‌های رنگ ایجاد کنیم از آن جا که مقادیر ماتریس چندی‌سازی مربوط به آن‌ها بزرگ است؛ خطای ناشی از جاسازی در آن‌ها بیشتر از ضرایب شدت‌روشنایی است. این اثر در بخش ۲-۳ به صورت ریاضی اثبات شده است و برای اثبات شهودی آن هم در (جدول ۲) مقادیر میانگین PSNR گروه‌های تصویری مورد آزمایش را برای روش نهان‌نگاری مبتنی بر تطبیق کم‌ارزش در سه حالت مختلف نشان می‌دهد در گروه (الف) تغییرات روی کانال Y، در گروه (ب) تغییرات روی کانال C<sub>b</sub> و در گروه (ج) تغییرات روی کانال C<sub>r</sub> انجام شده است. لازم به ذکر است تعداد تغییرات انجام شده روی هر سه کانال، مساوی است و از رابطه ۹ به دست می‌آید:

$$NC = \min(\text{cap}(Y), \text{cap}(C_b), \text{cap}(C_r)) \quad (9)$$

که در آن cap بیانگر بیشینه، ظرفیت جاسازی در کانال مورد نظر می‌باشد.

در (جدول ۳) خطای نرم‌افزار نهان‌کاو را در سه حالت نهان‌نگاری در سه کانال برای تصاویر گروه شش (تصاویری با ضریب کیفیت هفتاد) آورده‌ایم. ملاحظه می‌شود خطای نرم‌افزار نهان‌کاو در برای روش‌های نهان‌نگاری در کانال Y بیشتر از دو مؤلفه‌ی شدت رنگ است؛ و این مسئله مطابق با انتظار ما است.

(جدول ۲) مقادیر میانگین PSNR برای سه کانال در ۱۰ گروه تصویر JPEG نمونه برای روش نهان‌نگاری مبتنی بر تطبیق بیت کم ارزش (تعداد تغییرات انجام شده در هر سه کانال مساوی و از رابطه ۹ به دست آمده است).

گروه تصویر	ضریب کیفیت	NC	PSNR		
			Y	C <sub>b</sub>	C <sub>r</sub>
۱	۲۵	۱۰.۲۳	۶۵.۷	۵۹.۶	۶۰.۹
۲	۳۰	۴۰	۶۵	۵۸	۵۹
۳	۴۵	۱۵۱.۸	۶۲.۳	۵۵.۵	۵۵.۸
۴	۵۰	۲۵۷.۷	۶۱.۵	۵۳.۹	۵۵.۳
۵	۶۰	۲۶۱.۰۳	۶۲.۵	۵۴.۷	۵۶.۱
۶	۷۰	۴۶۰.۷	۶۰.۸	۵۳.۱	۵۴.۱
۷	۸۰	۸۴۹.۷	۶۰.۷	۵۳.۲	۵۴.۲
۸	۸۵	۹۵۴.۲	۵۹.۱	۵۶.۶	۵۷.۷
۹	۹۰	۳.۹×۱۰ <sup>-۳</sup>	۵۷	۵۵	۵۶
۱۰	۹۹	۵.۸×۱۰ <sup>-۴</sup>	۵۶	۵۵	۵۶

فردیک ۲۰۰۷، ص ۱۴-۳، کودوفسکی ۲۰۰۱، ص ۱۳-۱ هم

بدان اشاره شده است:

$$P_E = \frac{P_{FA} + P_{FR}}{2} \quad (8)$$

که در آن  $P_{FA}$  احتمال تشخیص نادرست پوشانه‌ها به عنوان گنجانه‌ها و  $P_{FR}$  احتمال انتخاب گنجانه‌ها به جای پوشانه است.

### ۱-۳- تأثیر کanal

در تصاویر JPEG با سه کانال روبرو هستیم؛ یک کانال مربوط به مؤلفه‌های شدت روشنایی می‌باشد و دو کانال باقی‌مانده مربوط به مؤلفه‌های رنگ می‌باشند؛ حال به‌راتب بین ضرایب موجود در مؤلفه‌های شدت‌روشنایی و رنگ، کدام ضرایب برای نهان‌نگاری مناسب‌ترند؟

به سه دلیل عمدی زیر می‌توان اعلام کرد که مؤلفه‌های شدت روشنایی مناسب‌ترند:

۱- با توجه به این‌که، این مؤلفه‌ها به‌هنگام فشرده‌سازی با ضرایب چندی‌سازی بزرگتری، چندی می‌شوند؛ لذا در ساختار آن‌ها یک سری صفرهای به‌هم‌پیوسته مشاهده می‌کنیم که با نهان‌نگاری در آن‌ها، این ساختار پیوسته به هم می‌خورد و نهان‌نگاری در آن‌ها مشهود می‌شود.

۲- در مؤلفه‌های رنگ اگر ضرایب (۰ و ۱۰) و DC را کنار بگذاریم؛ تعداد ضرایب باقی‌مانده، در عمل خیلی ناچیز است. لذا ظرفیت جاسازی در آن‌ها بسیار پایین است. (جدول ۱) تعداد میانگین ضرایب مناسب نهان‌نگاری را در ۵۵ گروه JPEG با ضریب کیفیت‌های متفاوت، برای سه کانال Y، C<sub>b</sub> و C<sub>r</sub> نشان می‌دهد.

(جدول ۱) تعداد میانگین ضرایب مناسب جاسازی در سه کانال Cr.Cb.Y برای ده گروه تصویر نمونه با ضریب کیفیت‌های متفاوت.

گروه تصویری	ضریب کیفیت	کانال Y	کانال C <sub>b</sub>	کانال C <sub>r</sub>
۱	۲۵	۴۶۷۱	۶۳	۱۸
۲	۳۰	۹.۵×۱۰ <sup>-۳</sup>	۱۴۶.۷	۵۳
۳	۴۵	۱.۴×۱۰ <sup>-۴</sup>	۴۳۶	۱۷۹
۴	۵۰	۱.۸×۱۰ <sup>-۴</sup>	۶۵۰.۱	۲۹۲.۲
۵	۶۰	۱.۹×۱۰ <sup>-۴</sup>	۶۰۱.۴	۲۸۹.۷
۶	۷۰	۲.۳×۱۰ <sup>-۴</sup>	۹۹۸.۵	۵۰۴.۱
۷	۸۰	۲.۶×۱۰ <sup>-۴</sup>	۱.۶۳×۱۰ <sup>-۳</sup>	۹۱۲.۵
۸	۸۵	۳.۰۲×۱۰ <sup>-۴</sup>	۱.۹۲×۱۰ <sup>-۳</sup>	۱.۰۴×۱۰ <sup>-۳</sup>
۹	۹۰	۵.۱×۱۰ <sup>-۴</sup>	۶.۲۲×۱۰ <sup>-۴</sup>	۴.۲۱×۱۰ <sup>-۴</sup>
۱۰	۹۹	۱.۱×۱۰ <sup>-۴</sup>	۱.۹۷×۱۰ <sup>-۴</sup>	۱.۶۳×۱۰ <sup>-۴</sup>

بنابراین می‌توان خطای ناشی از جاسازی در یک قالب  $8 \times 8$  را برابر گرفت با:

$$Diff_k = \sum_{i=1}^8 \sum_{j=1}^8 |a_{ijk} - a'_{ijk}| \quad k = 1 \dots 3 \quad (15)$$

با جای‌گذاری روابط ۱۳ و ۱۴ در ۱۵ داریم:

$$Diff_k = \sum_{i=1}^8 \sum_{j=1}^8 |a_{ijk} - d'_{ijk}| \quad (16)$$

$$\begin{aligned} &= \sum_{i=1}^8 \sum_{j=1}^8 |b_{ijk} \times S_k(i,j) - (b_{ijk} + d) \times S_k(i,j)| \\ &= \sum_{i=1}^8 \sum_{j=1}^8 |d \times S_k(i,j)| \quad k = 1 \dots 3 \end{aligned}$$

با توجه به رابطه‌ی ۱۶ اغتشاش ناشی از نهان‌نگاری با  $d$  و  $S_k$  متناسب است.

که در آن  $d$  معرف تغییرات ناشی از جاسازی است؛ لذا در مواردی که ضریب تغییر نکرده، برابر صفر و در حالت جای‌گذاری در بیت کم ارزش ضرایب، برابر ۱ یا -۱ می‌باشد.

$$Diff_k = \sum_{i=1}^8 \sum_{j=1}^8 |S_k(i,j)| \quad k = 1 \dots 3 \quad (17)$$

باتوجه به رابطه‌ی هفت با ضریب کیفیت، رابطه‌ی عکس دارد. به عبارت دیگر با افزایش ضریب کیفیت اندازه‌ی  $S_k$  کاهش پیدا می‌کند؛ از سوی دیگر با ماتریس چندی‌سازی اوّلیه رابطه‌ی مستقیم دارد. لذا می‌توان نتیجه گرفت که در تصاویر با کیفیت بهتر، خطای ناشی از جاسازی، کمتر از تصاویر با کیفیت پایین‌تر است.

از آنجایی که ضرایب ماتریس چندی‌ساز در مؤلفه‌های شدت رنگ، بزرگ‌تر از مؤلفه‌های شدت روش‌نایی است، لذا نهان‌نگاری در مؤلفه‌های شدت رنگ، اعوجاج بیشتری نسبت به مؤلفه‌های شدت روش‌نایی ایجاد می‌کند و این همان چیزی است که در بخش ۱-۳ به آن اشاره شد.

در ادامه، برای سنجش اعوجاج ناشی از جاسازی در این تصاویر، مقادیر PSNR میانگین را برای ده گروه تصویری مختلف در ازای روش نهان‌نگاری مبتنی بر تطبیق بیت کم ارزش محاسبه کردیم (جدول ۴).

یادآور می‌شویم، تعداد تغییرات از رابطه‌ی ۱۸ به‌دست می‌آید:

$$NC = \min(cap_i) \quad i = 1, \dots, 11 \quad (18)$$

که در آن  $cap$  بیان‌گر حداقل ظرفیت جاسازی در هر گروه است. از (جدول ۴) می‌توان به همان نتایجی رسید که

(جدول ۳) مقایسه‌ی خطای نرم افزار نهان‌نگاری در سه کanal مختلف از تصویر (ضریب کیفیت هفتاد) برای روش نهان‌نگاری مبتنی بر تطبیق بیت کم ارزش. مقادیر  $P_E$ ,  $P_{FA}$ ,  $P_{FR}$  به ترتیب احتمال انتخاب گنجانه‌ها به جای پوشانه، احتمال تشخیص نادرست پوشانه‌ها به عنوان گنجانه‌ها و خطای نهایی نرم افزار نهان‌نگار است. (تعداد تغییرات انجام شده در هر سه کanal مساوی و از رابطه‌ی نه به‌دست آمده است). کلیه‌ی مقادیر به درصد بیان شده‌اند.

کanal	Y	C <sub>b</sub>	C <sub>r</sub>
$P_{FR}$	۳۴	۳۲	۳۱
$P_{FA}$	۳۳	۳۳	۳۱
$P_E$	۳۲.۵	۳۲.۵	۳۱

## ۲-۳- تأثیر ضریب کیفیت

فرض کنید تصویری در اختیار دارید و می‌خواهید در ضرایب DCT آن نهان‌نگاری کنید؛ در اینجا ضرایب DCT یک بلوک  $8 \times 8$  از تصویر را با ماتریس A نمایش می‌دهیم.

$$A = \{a_{ijk}\} \quad i, j = 1, \dots, 8 \quad k = 1, \dots, 3 \quad (10)$$

که در آن  $k=1$  معرف ضرایب مربوط به شدت روش‌نایی و  $k=2, 3$  ضرایب مربوط به مؤلفه‌های شدت رنگ می‌باشند؛ ضرایب قرار گرفته در ماتریس B از مؤلفه‌های ماتریس A پس از چندی‌سازی و گردکردن آن‌ها حاصل شده است:

$$B = \{b_{ijk}\} \quad i, j = 1, \dots, 8 \quad k = 1, \dots, 3 \quad (11)$$

با فرض صرفنظر کردن از خطای چندی‌سازی، می‌توان گفت مقادیر ماتریس A برابر است با:

$$A = \{a_{ijk} \simeq b_{ijk} \times S_k(i,j)\} \quad i, j = 1, \dots, 8 \quad k = 1, \dots, 3 \quad (12)$$

که در آن  $S_k$  معرف ماتریس چندی‌سازی وابسته به کلید است و از رابطه‌ی شش بدست می‌آید. با فرض این که جاسازی در ضرایب DCT چندی‌شده، انجام گرفته و مقدار هر ضریب پس از جاسازی به اندازه‌ی  $d$  تغییر کرده باشد، داریم:

$$b'_{ijk} = b_{ijk} + d \quad (13)$$

که در آن  $d$  یک عدد صحیح است و برای نهان‌نگاری در حالت تغییر بیت کم ارزش، مقدار  $1 \pm d$  خواهد بود. لذا ماتریس A' که معرف ضرایب DCT یک قالب  $8 \times 8$  از تصویر، پس از جاسازی پیام می‌باشد، برابر است با:

$$A' = \{a'_{ijk} = b'_{ijk} \times S_k(i,j)\} \quad (14)$$

$$x_{ba}(t') = \left\{ t'_i = \left\lfloor \frac{t_i}{a} \right\rfloor \times \frac{a}{b} \right\} \quad (22)$$

باتوجهه به این که باید مقادیر  $t'_i$  مقادیر صحیحی باشند، لذا بایستی داشته باشیم:

$$t'_i \leq \left\lfloor \frac{t_i}{a} \right\rfloor \times \frac{a}{b} < t'_i + 1 \quad (23)$$

بنابراین:

$$t'_i \times \frac{b}{a} \leq \left\lfloor \frac{t_i}{a} \right\rfloor < (t'_i + 1) \times \frac{b}{a} \quad (24)$$

و از آنجا که  $\left\lfloor \frac{t_i}{a} \right\rfloor$  هم مقداری صحیح است، با استفاده از تابع  $\text{ceil}$  می‌توان گفت:

$$\left\lceil t'_i \times \frac{b}{a} \right\rceil \leq \left\lfloor \frac{t_i}{a} \right\rfloor < \left\lceil (t'_i + 1) \times \frac{b}{a} \right\rceil - 1 \quad (25)$$

بنابراین حد پایین هیستوگرام در حالت جدید برابر است با:

$$\left\lfloor \frac{t_{\min}}{a} \right\rfloor = \left\lceil t'_i \times \frac{b}{a} \right\rceil \quad (26)$$

$$t_{\min} = a \left\lceil t'_i \times \frac{b}{a} \right\rceil$$

هم از رابطه  $t_{\max}$  ۲۷ به دست می‌آید:

$$\begin{aligned} t_{\max} &= \left( \left( \left\lceil (t'_i + 1) \times \frac{b}{a} \right\rceil - 1 \right) \times a \right) + (a - 1) \quad (27) \\ &= \left\lceil \frac{b}{a} (t'_i + 1) \right\rceil \times a - 1 \end{aligned}$$

و از اینجا می‌توان نتیجه گرفت که تعداد بین‌های هیستوگرام برای تصاویر دوبار فشرده شده برابر است با:

$$n(t) = t_{\max} - t_{\min} + 1 \quad (28)$$

$$= a \left( \left\lceil \frac{b}{a} (t'_i + 1) \right\rceil - \left\lceil \frac{b}{a} t'_i \right\rceil \right)$$

$$n(t) = n(t + kb)$$

توجه کنید که  $n(t)$  یک تابع متناوب با دوره‌ی تناوب  $b$  است. که در آن  $k$  برابر همه‌ی مقادیر صحیح می‌باشد. بدین ترتیب می‌توان نتیجه گرفت که با دوبار فشرده سازی یک سیگنال، اغتشاش‌های متناوب در هیستوگرام تصویر دوبار فشرده شده، رخ خواهد داد که احتمال آشکارسازی را توسط نرم‌افزارهای نهان کاو بالا خواهد برد.

به صورت ریاضی اثبات شد. با افزایش کیفیت تصویر، اعوجاج ناشی از جاسازی کاهش می‌یابد.

(جدول ۴) مقادیر PSNR میانگین برای ده گروه تصویر نمونه با ضریب کیفیت‌های متفاوت در ازای تغییرات ثابت و روش نهان‌نگاری تطبیق بیت کم ارزش

گروه‌های تصویر	۱	۲	۳	۴	۵	۶	۷	۸	۹	۱۰
ضریب کیفیت	۲۵	۳۰	۴۵	۵۰	۶۰	۷۰	۸۰	۸۵	۹۰	۹۹
PSNR	۴۴	۳۹	۴۷	۵۰	۵۳	۶۴	۶۶	۶۶	۶۶	۸۸

البته خاطر نشان می‌سازیم که تصاویر با کیفیت پایین‌تر، خود به صورت ذاتی، نویه‌ای<sup>۱</sup> هستند و تشخیص پوشانه و گنجانه از هم در این دسته از تصاویر، توسط نرم‌افزارهای نهان کاو مشکل است؛ ولی این مسئله منافعاتی با آنچه که ما در این بند مطرح کردیم ندارد.

برای نشان دادن تجربی این اثر، خطای نرم افزار نهان کاو را در نهان‌نگاری در ده ضریب کیفیت مختلف در (جدول ۵) آورده‌ایم.

### ۳- تأثیر دوبار فشرده سازی

برای توضیح تأثیر دوبار فشرده سازی روی هیستوگرام تصویر از تابع یک بعدی  $x(t)$  بهره می‌گیریم:

$$x(t) = \{t_i\}, i \in N \quad (19)$$

سیگنال چندی شده با پله‌ی  $a$  را با  $x_a(t)$  را نمایش

می‌دهیم:

$$x_a(t) = \left\{ t'_i = \left\lfloor \frac{t_i}{a} \right\rfloor \right\}, i \in N \quad (20)$$

با توجه به رابطه‌ی بالا مقادیر موجود در بازه‌ی

$x(t)$  از  $(at_i + (a-1)), \dots, (at_i)$  در تابع  $t'_i$  قرار خواهد گرفت؛ لذا اگر هیستوگرام  $x_a(t)$  را با

$h$  نمایش دهیم و هیستوگرام  $x_a(t)$  را با  $h'$  نمایش دهیم

داریم:

$$h'(t) = \sum_{k=0}^{a-1} h(at' + k) \quad (21)$$

$$0 < at' + k < 256$$

بنابراین در هیستوگرام سیگنال چندی شده با پله‌ی  $a$  به طور دقیق  $a$  بین وجود دارد. حال فرض کنید سیگنال

$x(t)$  را دوبار با پله‌های  $b$  و  $a$  چندی نموده‌ایم، بنابراین

داریم:

<sup>1</sup> Noise

گنجانه است. ولی آنچه که حائز اهمیت است این است که در این حالت احتمال این که نرمافزار نهان کاو، تصویر ورودی را به عنوان گنجانه انتخاب کند بالا است. لذا برای امنیت بیشتر بهتر است از چنین تصاویری برای جاسازی استفاده نشود.

(جدول ۵) خطای نرمافزار نهان کاو برای ده گروه تصویر نمونه با ضریب کیفیت متفاوت. برای دو روش جاسازی R-LSB-M, OutGuess، در نرخ جاسازی ۲۰ و ۸۰. مقادیر  $P_{FR}$ ,  $P_{FA}$ ,  $P_E$  به ترتیب احتمال انتخاب گنجانه ها به جای پوشانه، احتمال تشخیص نادرست پوشانه ها به عنوان گنجانه ها و خطای نهایی نرمافزار نهان کاو هستند. کلیه مقادیر به درصد بیان شده اند.

گروه تصویر	ضریب کیفیت	OutGuess 20%			OutGuess 80%			Random LSB Matching 20%			Random LSB Matching 80%		
		$P_{FR}$	$P_{FA}$	$P_E$	$P_{FR}$	$P_{FA}$	$P_E$	$P_{FR}$	$P_{FA}$	$P_E$	$P_{FR}$	$P_{FA}$	$P_E$
۱	۲۵	۴۱.۵	۶۱.۵	۵۱.۵	۱۲	۶۱.۵	۳۶.۷۵	۳۷.۵	۶۱.۵	۴۹.۵	۵.۵	۶۱.۵	۳۳.۵
۲	۳۰	۵۲.۵	۴۴.۵	۴۸.۵	۱۵	۴۴.۵	۲۹.۷۵	۴۴	۴۴.۵	۴۴.۲۵	۱۰	۴۴.۵	۲۷.۲۵
۳	۴۵	۴۸.۵	۴۶	۴۷.۲۵	۱۶.۵	۴۶	۳۱.۲۵	۳۸	۴۶	۴۲	۶.۵	۴۶	۲۶.۲۵
۴	۵۰	۱۹.۵	۵۱.۵	۳۵.۵	۴.۵	۵۱.۵	۲۸	۲۲.۵	۵۱.۵	۳۷	۶.۵	۵۱.۵	۲۹
۵	۶۰	۲۴.۵	۵۱.۵	۳۸	۲	۵۱.۵	۲۶.۷۵	۳۰.۵	۵۱.۵	۴۱	۴	۵۱.۵	۲۷.۷۵
۶	۷۰	۲۰.۵	۵۱	۳۵.۷۵	۴.۵	۵۱	۲۷.۷۵	۲۲.۵	۵۱	۳۶.۷۵	۴.۵	۵۱	۲۷.۷۵
۷	۸۰	۱۴.۵	۴۲	۲۸.۲۵	۱.۵	۴۲	۲۱.۷۵	۳۱.۵	۴۲	۳۶.۷۵	۲	۴۲	۲۲
۸	۸۵	۱۹.۵	۴۰.۵	۳۰	۲	۴۰.۵	۲۱.۲۵	۲۲.۵	۴۰.۵	۳۱.۵	۳.۵	۴۰.۵	۲۲
۹	۹۰	۱۹.۵	۳۱.۵	۲۵.۵	۰	۳۱.۵	۱۵.۷۵	۳۸	۳۱.۵	۳۴.۷۵	۰	۳۱.۵	۱۵.۷۵
۱۰	۹۹	۱۶.۵	۴۸	۳۲.۲۵	۰	۴۸	۲۴	۲۳	۴۸	۳۵.۵	۰.۵	۴۸	۲۴.۲۵

(جدول ۶) خطای نرمافزار تحلیل تحت تأثیر دوبار فشرده سازی در چهار ظرفیت جاسازی متفاوت؛ که در آن  $\frac{QF_{out}}{QF_{in}}$  نسبت ضریب کیفیت تصویر تولیدی به تصویر اولیه است. مقادیر  $P_E$ ,  $P_{FA}$ ,  $P_{FR}$  به ترتیب احتمال انتخاب گنجانه ها به جای پوشانه، احتمال تشخیص نادرست پوشانه ها به عنوان گنجانه ها و خطای نهایی نرمافزار نهان کاو هستند. کلیه مقادیر به درصد بیان شده اند.

ظرفیت جاسازی	٪۱۰			٪۲۰			٪۳۰			٪۴۰		
$\frac{QF_{out}}{QF_{in}}$	$P_{FR}$	$P_{FA}$	$P_E$									
$\frac{20}{70}$	۷.۶	۹۰	۴۸.۸	۵.۸	۹۰	۴۷.۹	-	۹۰	-	۲.۹	۹۰	۴۶.۴
$\frac{30}{70}$	۶	۹۱	۴۸.۵	۶	۹۱	۴۸.۵	-	۹۱	-	۳.۵	۹۱	۴۷.۲
$\frac{50}{70}$	۰.۷	۹۹	۴۹.۵	-	۹۹	-	۰.۷	۹۹	۴۹.۸	۰.۲	۹۹	۴۹.۶
$\frac{60}{70}$	۰.۳	۹۹	۴۹.۶	-	۹۹	-	۰.۲	۹۹	۴۹.۶	۰.۰۹	۹۹	۴۹.۵
$\frac{70}{70}$	۲۷	۳۳	۳۰	۱۵	۳۳	۲۲.۵	۵	۳۳	۱۹	۰.۰۹	۳۳	۱۶.۵۴
$\frac{80}{70}$	۰.۰۹	۹۹	۴۹.۵	-	۹۹	-	۰	۹۹	۴۹.۵	۰	۹۹	۴۹.۵
$\frac{99}{70}$	۰	۱۰۰	۵۰	-	۱۰۰	-	۰	۱۰۰	۵۰	۰	۱۰۰	۵۰

(جدول ۸) خطای نرمافزار نهان کاو برای نهاننگاری با نرخ جاسازی ۲۰٪، روش جاسازی تطبیق بیت کم ارزش، مقادیر  $P_E$ ,  $P_{FA}$ ,  $P_{FR}$  به ترتیب احتمال انتخاب گنجانه‌ها به جای پوشانه، احتمال تشخیص نادرست پوشانه‌ها به عنوان گنجانه‌ها و خطای نهایی نرمافزار نهان کاو هستند. کلیه مقادیر به درصد بیان شده‌اند.

گروه‌های تصویری	$P_{FR}$	$P_{FA}$	$P_E$
گروه الف	۵.۵	۳۱.۵	۱۸.۵
گروه ب	۳.۵	۴۰	۲۱.۷۵
گروه ج	۰.۵	۶۱.۵	۳۱

### ۳-۵- تأثیر فرکانس مکانی

در این زیربخش، قصد داریم تأثیر فرکانس مکانی را روی امنیت بررسی کنیم. به عبارت دیگر به دنبال پاسخ این سؤال هستیم که آیا استفاده از ضرایب در برخی از باندهای فرکانسی، امنیت روش جاسازی را بالا می‌برد؟ همان‌گونه که می‌دانید ضرایب DCT چندی‌شده جزء یکی از سه گروه زیر است:

۱- ضرایب DC، ۲- ضرایب AC برابر با صفر، ۳- ضرایب AC مخالف صفر

ضرایب DC معرف میانگین روش‌نایابی هر قالب باشد، لذا تغییر آن‌ها باعث اعوجاج بصری در تصویر می‌شود. بیشتر ضرایب AC برابر صفر در فرکانس‌های میانی یا بالا قرار دارند؛ لذا تغییر آن‌ها ساختار پیوسته‌ی صفرها را به هم خواهد زد و خود دلیلی بر وجود بیت پنهانی در تصویر است. اما بیشتر ضرایب AC را غیر صفر در فرکانس‌های پایین و میانی رخ می‌دهند؛ حال سؤال این است که آیا آشافتگی آن‌ها تأثیر قابل توجهی روی تصویر خواهد گذاشت؟

با توجه به جدول چندی‌سازی تصاویر JPEG، ضرایب فرکانس پایین با پلهی چندی‌ساز کوچکتری نسبت به ضرایب با فرکانس بالا چندی می‌شوند. لذا نهان‌نگاری در آن‌ها اعوجاج کمتری را ایجاد خواهد نمود این اثر از رابطه‌ی ۱۶ هم حاصل می‌شود که در آن خطای بین گنجانه و پوشانه را به دست آورده‌ایم، در این حالت در شرایطی که  $S'_i \geq S_i$  باشد می‌توان نتیجه گرفت که  $D'_i \geq D_i$  است؛ به عبارت دیگر نهان‌نگاری در ضرایب فرکانس بالا که در آن‌ها درایه‌ی ماتریس چندی‌سازی بزرگ‌تر است، خطای بیشتری نسبت به نهان‌نگاری در ضرایب فرکانس پایین و میانی ایجاد می‌کند.

### ۳-۴- تأثیر بافت

در سیستم‌های نهان‌نگاری سیگنال پیام قبل از جاسازی، ابتدا فشرده و سپس رمز می‌شوند. چنین داده‌هایی شبیه به رشته‌ای از بیت‌ها هستند که دارای توزیع دوچشمی‌ای با  $P=0.5$  می‌باشند. درواقع می‌توان گفت که سیگنال پیام شبیه به یک نوشه‌ی تصادفی است. بهترین مکان برای جاسازی این نوشه‌ی تصادفی، مناطقی از تصویر است که خود طبیعتی نوشه‌مانند و به طور کامل تصادفی داشته باشند، با نهان‌نگاری در چنین مناطقی می‌توان گفت که تغییر محسوسی در تصویر ایجاد نخواهد شد.

نتایج آزمایش‌های انجام شده، نشان می‌دهند ضرایب DCT، در قالب‌هایی از تصویر که حاوی لبه‌ای تیز هستند و هم‌چنین قالب‌های یکنواخت (نواحی با گرادیان کم)، خیلی تصادفی نیست. به عبارت دیگر همبستگی بین ضرایب موجود در این قالب‌ها قابل توجه است.

این اثر در (جدول ۷) نشان داده شده است. بدین منظور سه گروه تصویر را در نظر گرفته‌ایم، گروه (الف) حامل تصاویر یکنواخت، گروه (ب) تصاویر شلوغ با لبه‌های تیز و مشخص، و گروه (ج) حاوی تصاویر شلوغ با طبیعت نوشه‌ای هستند؛ سپس مقادیر DCT آن‌ها را محاسبه کرده و در ادامه آنتروپی ضرایب DCT هر تصویر را که معروف می‌زان مشاهده می‌کنید میزان تصادفی بودن مقادیر DCT در گروه (ج) از سایر گروه‌ها بیشتر است؛ لذا به نظر می‌رسد که بهترین مناطق برای نهان‌نگاری در تصویر، مناطق شلوغ تصویر با طبیعت نوشه‌ای و تصادفی است. چراکه نهان‌نگاری در تصاویر گروه (الف) و (ب) باعث از بین رفتن همبستگی بین ضرایب DCT می‌شود و درواقع اثر نهان‌نگاری مشهود خواهد شد. به عبارت دیگر نرمافزارهای نهان‌نگاری کاوی می‌توانند این گروه از تصاویر نهان‌نگار را با دقت بالاتری آشکار کنند. به منظور آزمایش هم تعداد ششصد تصویر (یکصد تصویر پوشانه و یکصد گنجانه از هر گروه) را انتخاب کرده و خطای تشخیص نرمافزار نهان کاو را در (جدول ۸) آورده‌ایم. ملاحظه می‌کنید امکان رخداد خطأ توسط نرمافزار نهان کاو در گروه (ج) از دو گروه دیگر بیشتر است و این مطابق با انتظار ما است.

(جدول ۷) مقادیر آنتروپی ضرایب سه گروه تصویر (گروه (الف) حامل تصاویر یکنواخت گروه (ب) تصاویر شلوغ با لبه‌های تیز و مشخص و گروه (ج) حاوی تصاویر شلوغ با طبیعت نوشه‌ای هستند)

گروه‌های تصویری	الف	ب	ج
آنتروپی میانگین ضرایب DCT	۲	۴	۶

(جدول ۹) خطای نرم‌افزار نهان‌نگاری به روشن تطبیق بیت کم ارزش در کل تصویر و نهان‌نگاری در زیر باندهای فرکانس پایین تعداد تغییرات انجام شده در هر دو حالت یکسان است، مقادیر  $P_{FR}$ ,  $P_{FA}$ ,  $P_E$  به ترتیب احتمال انتخاب گنجانه‌ها به جای پوشانه، احتمال تشخیص نادرست پوشانه‌ها به عنوان گنجانه‌ها و خطای نهانی نرم‌افزار نهان‌نگاری هستند. نتایج در ده ظرفیت متفاوت گزارش شده است.

روش جاسازی	LSBFlipping نهان‌نگاری در زیر باند ۳-۱			LSBFlipping نهان‌نگاری معمولی به صورت تصادفی در کل تصویر			LSBMatching نهان‌نگاری در زیر باند ۳-۱			LSBMatching نهان‌نگاری معمولی به صورت تصادفی در کل تصویر		
	$P_{FR}$	$P_{FA}$	$P_E$	$P_{FR}$	$P_{FA}$	$P_E$	$P_{FR}$	$P_{FA}$	$P_E$	$P_{FR}$	$P_{FA}$	$P_E$
۱۰	۳۳	۶۶	۴۹.۵	۲۷	۶۶	۴۶.۵	۳۳	۶۶	۴۹.۵	۱۳	۶۶	۴۹.۵
۲۰	۳۳	۶۶	۴۹.۵	۲۴	۶۶	۴۵	۳۳	۶۶	۴۹.۵	۱۳	۶۶	۴۹.۵
۳۰	۳۳	۶۶	۴۹.۵	۲۴	۶۶	۴۵	۳۳	۶۶	۴۹.۵	۱۳	۶۶	۴۹.۵
۴۰	۳۳	۶۶	۴۹.۵	۲۴	۶۶	۴۵	۳۷	۶۶	۵۱.۵	۱۳	۶۶	۴۹.۵
۵۰	۳۳	۶۶	۴۹.۵	۲۴	۶۶	۴۵	۳۳	۶۶	۴۹.۵	۱۲	۶۶	۴۹
۶۰	۳۳	۶۶	۴۹.۵	۲۴	۶۶	۴۵	۳۲	۶۶	۴۹.۵	۱۳	۶۶	۴۹.۵
۷۰	۳۳	۶۶	۴۹.۵	۲۴	۶۶	۴۵	۳۳	۶۶	۴۹.۵	۱۲	۶۶	۴۹
۸۰	۳۳	۶۶	۴۹.۵	۲۴	۶۶	۴۵	۳۳	۶۶	۴۹.۵	۱۲	۶۶	۴۹
۹۰	۳۳	۶۶	۴۹.۵	۲۴	۶۶	۴۵	۳۷	۶۶	۵۱.۵	۱۲	۶۶	۴۹
۱۰۰	۳۳	۶۶	۴۹.۵	۲۴	۶۶	۴۵	۳۳	۶۶	۴۹.۵	۱۲	۶۶	۴۹

$$cap = cap(SF_{1-3}) \times Payload_{in} \quad (29)$$

که در آن  $cap(SF_{1-3})$  معرف حداکثر ظرفیت جاسازی در باندهای فرکانسی ۱-۳ است.

همان‌گونه که انتظار داشتیم، خطای نرم‌افزار نهان‌نگاری در حالت انتخاب باندهای فرکانسی پایین‌تر بیشتر از حالتی است که نهان‌نگاری به صورت تصادفی در کل تصویر انجام می‌شود، لذا انتخاب هوشمندانه‌ی ضرایب جاسازی با توجه به فرکانس مکانی آن در افزایش امنیت مؤثر است.

#### ۴- الگوریتم‌های نهان‌نگاری در JPEG

با توجه به ساختار این فرمت که در پخش دوم به آن اشاره شد، فضاهای خاصی برای جاسازی اطلاعات در تصویر JPEG وجود دارد. همان‌طور که پیش از این آورده‌ایم، ما روش‌های نهان‌نگاری در JPEG را در سه گروه اصلی تقسیم‌بندی نموده‌ایم؛ در این پخش قصد داریم مروری بر روش‌های موجود نهان‌نگاری در JPEG داشته باشیم و آن‌ها را از جنبه‌های مختلف دسته‌بندی کنیم لذا در ابتدا روش‌های نهان‌نگاری را در JPEG که بر اساس ویژگی‌های ساختار فایل

با هدف آشکار شدن این اثر، در یک آزمایش از تصاویر گروه شش با ضربیت کیفیت هفتاد استفاده کردہ‌ایم و در آن‌ها یکبار نهان‌نگاری به روشن تطبیق کم‌ارزش در سه باند فرکانسی مکانی ۱-۳ (شکل ۱) و یکبار دیگر در کل تصویر انجام شده است.

مقدار PSNR میانگین در حالت طبیعی ۶۳ و در حالتی که از سه باند فرکانس پایین استفاده کردہ‌ایم ۶۵ است و این مسئله مطابق با انتظار ما است.

میزان خطای نرم‌افزار نهان‌نگاری در ظرفیت‌های مختلف برای حالتی که از باندهای فرکانسی خاصی استفاده می‌شود در مقایسه با نهان‌نگاری به صورت تصادفی در کل تصویر برای تصاویر مذکور در (جدول ۹) آورده شده است.

لازم به ذکر است که میزان تغییرات در هر دو حالت برابر است و از رابطه‌ی ۲۹ به دست می‌آید:

۱	۲	۳	۴
۲	۳	۴	
۳	۴		
۴			

(شکل ۱) ضرایب با فرکانس‌های مکانی مثل هم در یک بلوک DCT

که در آن original.jpeg پوشانه‌ی ورودی secretfiles.zip، پیام موردنظر new.jpeg گنجانه می‌باشد؛ /B معرفه باینزی کردن است.

طی این فرآیند درواقع پیام پنهانی در مدد دودویی<sup>۳</sup> را به انتهای فایل JPEG اضافه می‌کنیم، لذا اندازه‌ی فایل بعد از جاسازی زیاد می‌شود. هنگامی که تصویر JPEG را باز می‌کنیم؛ طول داده‌ی مربوط به تصویر از سرآمد فایل تصویر خوانده می‌شود و پیام پنهانی که به انتهای آن اضافه شده نادیده گرفته می‌شود. بازیابی پیام در این روش بسیار ساده است؛ کافی است قالب گنجانه را به نوع پیام تبدیل کنید تا پیام موردنظر را بازیابی نمایید. به عنوان مثال اگر نوع پیام zip است، کافی است فرمات گنجانه را به zip تغییر دهید، حال برآحتی به پیام موردنظر مرسید.

روشن است که روش‌های این گروه، نه تنها هیستوگرام تصویر را تغییر نمی‌دهند، بلکه تأثیر مشاهده‌ای هم روی تصویر به جا نخواهند گذاشت؛ ولی بهره‌حال روش‌های نامنی به حساب می‌آیند و با یک برسی ساده می‌توان گنجانه‌ها را از پوشانه‌ها متمایز کرد.

برخی از نرم‌افزارهای نهان‌نگاری مثل Comuflag، Data Stash Jpegx از این شیوه بهره می‌برند. البته نرم‌افزارهایی چون Sarc و Stegosui قادر به تحلیل چنین روش‌هایی هستند.<sup>۴</sup>

## ۴- نهان‌نگاری در ضرایب DCT قالب‌ها

۸×۸

بیشتر روش‌های نهان‌نگاری در تصاویر JPEG با استاندارد آن تطابق یافته‌اند؛ یعنی پوشانه ابتدا به قالب‌های ۸×۸ تقسیم می‌شود و تبدیل DCT روی هر قالب اعمال شده و فرآیند فشرده‌سازی روی آن انجام می‌شود؛ سپس نهان‌نگاری به طور معمول با دستکاری ضرایب DCT قالب‌های ۸×۸ صورت می‌گیرد (لی ۲۰۰۳، لی ۲۰۰۶، رانگرانت ۲۰۰۶، سنگ ۲۰۰۴، وانگ ۲۰۰۱، محمدی ۲۰۰۱، چانگ ۲۰۰۲). روش‌های موجود در این گروه را از دیدگاه‌های مختلفی می‌توان طبقه‌بندی نمود.

یک دیدگاه برای دسته‌بندی این روش‌ها، راهکار جاسازی به کار گرفته شده در آن است؛ بر این اساس، روش‌های نهان‌نگاری را می‌توان به دو دسته‌ی روش‌های

ایجاد شده‌اند، مورد بررسی و تحلیل قرار می‌دهیم؛ در ادامه، روش‌های نهان‌نگاری در ضرایب DCT را شرح خواهیم داد؛ سپس در مورد روش‌های نهان‌نگاری در حوزه‌ی متفاوت، ولی مقاوم به فشرده‌سازی JPEG توضیحاتی را ارائه خواهیم کرد.

### ۴-۱- نهان‌نگاری در JPEG با استفاده از ویژگی‌های ساختار فایل

در این روش‌ها که به‌طور معمول روش‌های ساده و نامنی هستند، نهان‌نگاری در بخش‌هایی از فایل صورت می‌گیرد که با توجه به ساختار این فرمات ایجاد شده است.

#### الف- نهان‌نگاری در فراداده<sup>۱</sup>

یک راه برای نهان‌نگاری در تصویر JPEG، قراردادن اطلاعات در مکان‌های مربوط به فراداده است. فراداده درواقع اطلاعاتی است که در مورد یک محصول خاص داده می‌شود و شامل نکاتی درباره‌ی تصویر و دوربین عکاسی می‌باشد (وانگ ۲۰۰۴، ص ۷۶-۱۲)؛ به عنوان مثال در مورد دوربین‌های عکاسی یک سری اطلاعات الحاقی<sup>۲</sup> شامل مدل دوربین، زمان ایجاد عکس، وضوح تصویر و... به سرآیند فایل اضافه می‌شود.

#### ب- اضافه کردن پیام به انتهای فایل

روش دیگر برای نهان‌نگاری اضافه کردن اطلاعات به انتهای فایل JPEG است؛ در این حالت پیام در انتهای فایل تصویر JPEG بعد از برچسب EOI (که شاخص انتهای تصویر است) اضافه می‌شود. از آن جا که طول مربوط به فایل اصلی در سرآمد ثبت شده است، مشکلی در بازکردن تصویر مذکور نخواهیم داشت. در ادامه، روش ساده‌ای را برای اضافه کردن اطلاعات به انتهای فایل JPEG در محیط ویندوز می‌آوریم:

۱- فایل پنهانی و فایل تصویر ورودی با فرمات JPEG را انتخاب کنید.

۲- برای راحتی کار بهتر است هر دو فایل را در یک مسیر به عنوان مثال درایو C قرار دهید.

۳- Start - All Command Prompt را از مسیر Programs - Accessories - Command Prompt انتخاب کنید.

۴- در پنجره‌ی Dos برای آن که به درایو C دسترسی پیدا کنید، عبارت "cd \\" را تایپ کنید.

۵- حال کافی است عبارت "copy /B original.jpeg + secretfiles.zip new.jpeg" را تایپ نمایید.

<sup>۳</sup> Binary

<sup>۴</sup> آدرس اینترنتی نرم‌افزارهای مذکور در انتهای مقاله ذکر شده است.

<sup>۱</sup> Metadata

<sup>۲</sup> Extended file information(EXIF)

ضرایب فرکانس میانی، برای جاسازی استفاده می‌کنند؛ به عبارت دیگر پیام تنها در ۳۶ ضرایب موجود از یک قالب ۸×۸ پنهان می‌شود.

**ج- روش‌های جاسازی تصادفی**  
در روش‌های جاسازی تصادفی، انتخاب ضرایب به صورت تصادفی و براساس یک کلید انجام می‌شود.

اولین روشی که بر این اساس معرفی شد، روش ۰.۱ OutGuess (نیز پرووس<sup>۳</sup> ۲۰۰۳) است. که در آن ضرایب DCT چندی شده، به صورت شبه‌تصادفی (با استفاده از یک کلید) انتخاب می‌شوند. در ادامه، بیت‌های LSB آن‌ها با بیت‌های پیام جایگزین خواهند شد؛ در این روش بدون داشتن کلید یا کلمه‌ی عبور نمی‌توان پیام پنهانی را استخراج کرد. از دیگر روش‌های جاسازی مبتنی بر جایگزینی بیت‌های پیام در کمارزش‌ترین بیت ضرایب، می‌توان به روش‌های مطرح شده توسعه (سالی ۲۰۰۴ و ۲۰۰۵)، (پونی ۲۰۰۱)، (اسچاپ ۲۰۰۳) و (ایگرز ۲۰۰۲) اشاره نمود. (ساتیش ۲۰۰۴، ص ۵۷۱-۵۹۰) در مورد تحلیل آن

دسته از الگوریتم‌های نهان‌نگاری که از بیت‌های کمارزش پیکسل‌های تصویر به صورت پشت سرهم برای جاسازی استفاده می‌کنند، با استفاده از آزمایش<sup>۲</sup> روش دقیقی ارائه کرده است که براساس بوجود آمدن جفت‌رنگ‌هایی که تعداد رخداد آن‌ها در تصویر برابر است، عمل می‌کند. جاگذاری در بیت کمارزش باعث نرم شدن فرکانس عناصر یک زوج مقدار نسبت به یکدیگر می‌شود؛ بنابراین هنگامی که پیام مخفی شده به اندازه‌ی کافی بزرگ باشد، جاسازی بیت‌های پیام با توزیع یکنواخت، تفاوت فراوانی بین رنگ‌های همسایه را در هیستوگرام، کاهش می‌دهد و از این واقعیت که به طور آماری توزیع زوج مقدارها یکسان می‌شود در حمله استفاده می‌کند؛ این حمله بر مبنای همین تغییرات، وجود داده‌ی مخفی را تشخیص می‌دهد. البته در صورتی که از تمام ظرفیت تصویر استفاده نشود و داده‌ها به صورت شبه‌تصادفی در تصویر پراکنده باشند، کارآیی این روش کاهش می‌یابد. (پرووس ۲۰۰۱) ادعا می‌کند که می‌توان این روش را برای وقتی که داده‌ها به صورت تصادفی در تصویر قرار می‌گیرند، اصلاح کرد.

**ب- روش‌های مبتنی بر تطبیق بیت کمارزش<sup>۳</sup>**  
در روش تطبیق بیت کمارزش نیز هدف یکسان کردن LSB ضرایب، با بیت‌های پیام است؛ اما ممکن است برای رسیدن

مبتنی بر تغییر بیت‌های کمارزش و روش‌های مبتنی بر چندی‌سازی طبقه‌بندی نمود.

## ۴-۱-۲- روش‌های مبتنی بر تغییر بیت کمارزش

به طور معمول برای جاسازی در ضرایب DCT از روش‌های مبتنی بر تغییر بیت‌های کمارزش استفاده می‌شود؛ دو گروه عمده از این روش‌ها، روش‌های مبتنی بر جاسازی بیت کمارزش (LSB-F<sup>۱</sup>) و روش‌های تطبیق بیت کمارزش (LSB-M<sup>۲</sup>) هستند.

**الف- روش‌های مبتنی بر جایگزینی بیت کمارزش**  
در روش LSB-F، تنها کمارزش‌ترین بیت هر ضریب تغییر می‌کند؛ به عبارت دیگر در این روش، کمارزش‌ترین بیت ضرایب DCT پوشانه با بیت‌های پیام، بازنویسی می‌شوند؛ البته روش‌های مطرح شده در این گروه را می‌توان به دو دسته روش‌های جاسازی ترتیبی و تصادفی دسته‌بندی نمود.

**ب- روش‌های جاسازی ترتیبی**  
در روش‌های جاسازی ترتیبی، انتخاب ضرایب از ابتدای تصویر و به صورت ترتیبی و پشت سرهم انجام می‌شود. اولین روشی که بر این اساس معرفی شد، روش Jsteg (درک اوفام ۲۰۰۲) است در این روش ضرایب DCT (به جز ۱۰۱-۱۰۲) استفاده می‌شود (پرووس ۲۰۰۳، ص ۳۲-۴۴). با افزایش نسبت فشرده‌سازی تعداد ضرایب (۱۰۱-۱۰۰) افزایش می‌یابد و درنتیجه ظرفیت نهان‌نگاری کم می‌شود (سنگ ۲۰۰۴، ص ۱۲-۱۷). این روش نسبت به حمله‌های مشاهده‌ای مصون است، ولی به راحتی می‌توان آن را آشکار کرد و از آن جا که الگوریتم نیازی به رمز مشترک ندارد، درنتیجه هر شخصی که سیستم نهان‌نگاری را بشناسد، می‌تواند پیام پنهان شده به این روش را استخراج کند. البته نسخه‌های بهبود یافته‌ای از این روش هم وجود دارد به طور مثال در (چانگ ۲۰۰۲، ص ۱۲۲-۱۲۳) برای بالابردن ظرفیت نهان‌نگاری و تولید تصاویر گنجانه، با کیفیت بهتر، روشی براساس Jsteg ارائه شده است. از دیگر روش‌های این گروه می‌توان به روش (لی ۲۰۰۴) اشاره کرد که از ایده‌ی مطرح شده توسعه (وانگ ۲۰۰۷) الهام گرفته شده است؛ آن‌ها با اعمال تغییراتی روی جدول چندی‌سازی ظرفیت، جاسازی روش Jsteg را افزایش داده‌اند و برای بهبود کیفیت گنجانه از

<sup>۱</sup> LSB Flipping (LSB\_F)

<sup>۲</sup> LSB Matching (LSB-M)



مثال (سالی ۲۰۰۴) در روش ۱۱، برای مدل کردن ضرایب AC از تابع توزیع عمومی Cauchy<sup>۱</sup> استفاده می‌کند؛ بدین ترتیب ضرایب تصویر به دو بخش کلی (اجزایی که تغییر آن تأثیر کمی روی تصویر دارند (LSB) و اجزایی که تغییر آن تأثیر فاصله روی تصویر دارد (MSB)) تقسیم می‌شوند و درنهایت بیت‌های پیام جایگزین بیت‌های LSB می‌شود. (بوجه ۲۰۰۴) روشی برای شکستن این الگوریتم مطرح کرده است. سالی برای بهبود روش خود روش نهان‌نگاری MB2 را مطرح کرد که در آن اثر قالبی شدن هم حفظ شده است؛ البته این روش هم در (الریک ۲۰۰۱، ص ۱۴۲-۱۲۷) تحلیل شده است. در همین اواخر روش PSB با هدف بهبود روش‌های مبتنی بر مدل، به کمک مدلی بهتر و انتخاب دقیق‌تر ضرایب جاسازی پیشنهاد شده است؛ این روش در واقع ترکیبی از روش F5 (وستفلد ۲۰۰، ص ۳۰۲-۲۱۹) و روش‌های مبتنی بر مدل می‌باشد.

از دیگر روش‌های این گروه می‌توان به آن دسته از روش‌های نهان‌نگاری اشاره کرد که در آن‌ها تغییرات ناشی از نهان‌نگاری را با نوافای گوسی و کم‌دامنه که ممکن است در اثر عوامل مختلف (مثل نوافه‌ی حاصل از دستگاه تصویربرداری) به‌طور طبیعی در تصویر وجود داشته باشد، مدل می‌کنند، و بدین ترتیب سعی می‌کنند امنیت را افزایش دهند؛ چرا که برای تحلیل کننده، تشخیص این‌که نوافه‌ی ایجاد شده حاصل از نهان‌نگاری یا توسط دستگاه تصویر برداری است، مشکل می‌باشد. از جمله‌ی این روش‌ها می‌توان روش‌های (فرانزه ۲۰۰۵، ص ۱۱۹، ۲۰۳-۱۹۱، مارول ۱۹۹۱، ص ۴۸-۱۶)، به‌طور مثال در روش ارائه شده توسط ایگرز از دو چندی‌ساز برای جاسازی در ضرایب استفاده می‌شود؛ یکی برای جاسازی بیت‌هایی از پیام که برابر صفر هستند و دیگری برای جاسازی بیت‌هایی از پیام که برابر یک هستند.

مهم‌ترین هدف یک سیستم نهان‌نگاری، امنیت یا عدم آشکارشدن آن است که در صورت آشکارشدن، هدف نهان‌نگاری نقض می‌شود. لذا در یک دسته‌بندی دیگر می‌توان روش‌ها را بر اساس این‌که از چه راهکاری برای افزایش امنیت استفاده کرده‌اند، طبقه‌بندی کرد.

<sup>۲</sup> Generalized Cauchy distribution

به این هدف چند بیت از ضریب تغییر یابد؛ درواقع در این جا دیگر الزام تغییر حداکثر یک بیت از ضریب، وجود ندارد. اما باید به این نکته نیز توجه شود که این تغییرات تا جایی مجاز است که تأثیرات قابل مشاهده‌ای روی تصویر ایجاد نکنند. در این روش در صورت تطابق بیت داده با بیت کمارزش ضریب، تغییری در ضریب ایجاد نمی‌شود؛ درصورت عدم تطابق، مقدار ضریب به صورت تصادفی کاهش یا افزایش می‌یابد؛ به همین دلیل این روش با عنوان روش جاسازی ± نیز شناخته می‌شود (وستفلد ۲۰۰۲).

البته در این روش‌ها نیز جاسازی می‌تواند به صورت ترتیبی یا تصادفی انجام شود. از جمله روش‌های مبتنی بر تطبیق LSB می‌توان به (میلیکانین ۲۰۰۶، ص ۲۸۷-۲۸۵، لی ۲۰۰۶، ص ۲۰۰، لی ۲۰۰۵-۱۰۰۵، فرانز ۲۰۰۲) اشاره نمود.

با توجه به این‌که روش POV<sup>۱</sup> از ایجاد LSB-M در هیستوگرام جلوگیری می‌کند؛ در برابر حملات مربوط به روش‌های جایگزینی LSB مقاوم است. در مورد تحلیل روش‌های LSB-M نیز حملاتی مطرح شده است؛ اما هیچ‌کدام از آن‌ها به‌طور کامل موفق نبوده‌اند (مارول ۱۹۹۱، ص ۴۱-۶۱، فردریک ۲۰۰۳، ص ۱۹۱-۲۰۲).

## ۲-۲-۴- روش‌های مبتنی بر چندی‌سازی

در این دسته از روش‌ها، جاسازی اطلاعات با چندی‌سازی ضرایب انجام می‌شود (ایگرز ۲۰۰۲، ص ۲۶-۳۷، چن ۱۲۰۰، ص ۱۴۲۳-۱۴۴۳، ۱۱). به‌طور مثال در روش ارائه شده توسط ایگرز از دو چندی‌ساز برای جاسازی در ضرایب استفاده می‌شود؛ یکی برای جاسازی بیت‌هایی از پیام که برابر صفر هستند و دیگری برای جاسازی بیت‌هایی از پیام که برابر یک هستند.

## ۲-۳-۴- روش‌های انطباقی

روش‌های انطباقی درواقع روش‌هایی هستند که به منظور خاصی طراحی شده‌اند. این دسته از روش‌ها به‌طور معمول خود را با ویژگی‌های ساختار JPEG تطبیق داده‌اند. از جمله‌ی این روش‌ها، روش‌های مبتنی بر مدل می‌باشند (لی ۲۰۰۰، ص ۲۹۴-۲۱۱، راسی ۲۰۰۹، اترکی ۲۰۰۱، ص ۲۲۱-۲۳۳). در این الگوریتم‌ها ویژگی‌های آماری تصویر مدل می‌شود و طی فرآیند جاسازی حفظ خواهد شد. به عنوان

<sup>۱</sup> Pair Of Values



به عنوان مثال (سرکار و همکارانش در سال ۲۰۰۷)، روشی را مبتنی بر اصلاح مشخصات آماری مرتبه‌ی دوم ضرایب DCT ارائه کردند (سرکار ۲۰۰۷، ص ۲۷۷-۲۸۰). عده‌ای نیز در تلاش بوده‌اند که تغییرات ناشی از جاسازی را به‌گونه‌ای اعمال کنند که توزیع گنجانه تا حد امکان مشابه با پوشانه باشد؛ از جمله‌ی این روش‌ها می‌توان به روش PQ فردریک (فردریک ۲۰۰۶، ص ۱۰۳-۱۱۰)، فردریک (فردریک ۲۰۰۴، ص ۴-۱۵)، روش‌های مبتنی بر مدل که در آن‌ها نه تنها هیستوگرام مرتبه‌ی اول کل ضرایب DCT اصلاح می‌شود، بلکه هیستوگرام زیرباندهای DCT نیز اصلاح می‌شود، یا روش‌های مبتنی بر مدولاسیون آتفاقی<sup>۲</sup> (فردریک ۲۰۰۲، ص ۱۹۱-۲۰۲، فردریک ۲۰۰۳، ص ۱۹۱-۲۰۲) اشاره کرد. نقطه‌ضعف اصلی روش‌های مبتنی بر اصلاح مشخصات آماری این است که:

ایده‌ی بازسازی آماری، تنها زمانی مفید خواهد بود که امکان بازسازی همه‌ی آماره‌های اساسی تصویر وجود داشته باشد و حفظ هیستوگرام ضرایب DCT در کل تصویر به‌نهایی کافی نیست؛ چراکه واستگی بین ضرایب یک قالب و هم‌چنین بین قالب‌های مختلف بسیار پیچیده است؛ از سوی دیگر اصلاح هیستوگرام، خود می‌تواند واستگی‌هایی ایجاد کند که امکان آشکارسازی را افزایش دهد (پونی ۲۰۰۷، ص ۳-۴، پیو. کیو. شی ۲۰۰۶)؛ علاوه‌بر این بازسازی آماری بازده جاسازی را در برخی از روش‌ها پایین می‌آورد؛ از سوی دیگر در روش‌هایی که ضرایب را با توزیع خاصی مدل می‌کنند این سؤال مطرح است که این تخمین تا چه حد با توزیع اصلی مطابقت دارد (بوهم ۲۰۰۴، ص ۱۲۵-۱۴۰، الیک ۲۰۰۱، ص ۱۲۷-۱۴۲).

## ۴-۵-روش‌های مبتنی بر کاهش اعوجاج ناشی از جاسازی

این گروه شامل روش‌هایی هستند که به‌دبیال کاهش اعوجاج ناشی از جاسازی می‌باشند (فردریک ۲۰۰۶، ص ۱۰-۲، کیم ۲۰۰۶)؛ البته راه‌کارهای مختلفی می‌توان بدین منظور ارائه کرد (کودوفسکی ۲۰۰۰، ص ۳-۱۴).

یکی از این راه‌کارها کاهش تعداد تغییرات ناشی از جاسازی می‌باشد. به عنوان مثال در برخی از الگوریتم‌ها از روش‌های مبتنی بر کدگذاری برای کاهش تغییرات ناشی از جاسازی استفاده می‌کنند؛ از جمله مهمنترین این روش‌ها

## ۴-۲-۴-روش‌های مبتنی بر اصلاح مشخصات

### آماری تصویر

روش‌های نهان‌نگاری در بیت‌های کم‌ارزش، جزء ساده‌ترین روشن‌ها می‌باشند و ظرفیت زیادی را برای جاسازی ایجاد می‌کنند؛ به‌طوری که در مواردی، بدون آن که چشم متوجه جاسازی شود، می‌توان تا ۵۵٪ حجم فایل تصویر را با داده پر کرد (سنگ ۲۰۰۴، ص ۱۲-۱۷).

عیب عمده‌ی این روش‌ها این است که به‌طور معمول مشخصات آماری تصویر را به‌هم‌می‌زنند و بدین ترتیب در برابر تحلیل‌های آماری بسیار شکننده هستند. به عنوان مثال (وینر ۲۰۰۰) نشان‌داده است که ضرایب DCT توزیع زنگی شکل دارند که با نهان‌نگاری به روش Jsteg این توزیع به‌هم‌می‌خورد. لذا برخی از محققان روش‌های مبتنی بر بازسازی آماری را مطرح کرده‌اند که در تعدادی از آن‌ها از تعریف کجین (کجین ۱۹۹۱) برای بالا بردن امنیت استفاده شده است (رانگرانگ ۲۰۰۶، ص ۳۶۵-۳۶۱). و درواقع تلاش می‌کنند که اطلاعات را در تصویر، به‌گونه‌ای پنهان کنند که مشخصات آماری تصویر قبل و بعد جاسازی مشابه هم باشد (ایگر ۲۰۰۲، ص ۲۶-۳۷، سولانکی ۲۰۰۶، نوداد ۲۰۰۵، سالی ۲۰۰۴، ص ۱۵۴-۱۶۷، سالی ۲۰۰۵، ص ۱۶۷-۱۹۰، پرووس ۲۰۰۱، ص ۱-۱۱).

پرووس (پرووس ۲۰۰۱) جزء اولین کسانی بود که ایده‌ی خنثی‌کردن تغییرات هیستوگرام را ارائه کرد. او به‌جای آن که از تمام ظرفیت تصویر برای نهان‌نگاری استفاده کند، از نصف ظرفیت برای نهان‌نگاری و از نصف دیگر آن برای تصحیح هیستوگرام استفاده کرده است؛ البته در این روش ظرفیت نهان‌نگاری در تصویر کاهش چشم‌گیری می‌یابد. (ایگر و همکارانش در سال ۲۰۰۲) روش دیگری را برای نهان‌نگاری با حفظ مشخصات آماری با روابط ریاضی پیشرفت‌هه ارائه کردند که به HPDM مشهور است (برند گایرود، دانشگاه استنفورد). (فرانز و همکارانش در سال ۲۰۰۲) سعی کردند پیام را با توزیع تصویر، مدل کنند. برخی دیگر از محققان در صدد آن بوده‌اند که K-Ldivergence را کمینه کنند (سولانکی ۲۰۰۶، گیلوون ۲۰۰۲، مولین ۲۰۰۴، سولانکی ۲۰۰۵، سولانکی ۲۰۰۶، ص ۱۲۱-۱۲۶).

گروه دیگر اساس کار خود را مبتنی بر اصلاح مشخصات آماری مرتبه‌ی دوم ضرایب DCT قرار داده‌اند؛

<sup>2</sup> Stochastic modulation

<sup>1</sup> Histogram-preserving data mapping

این روش‌ها برای تصاویر با فرمتهای دیگر مطرح شده است، اما همه‌ی آن‌ها در فرمت JPEG هم قابل استفاده است. درمجموع می‌توان گفت که استفاده از الگوریتم‌های مرتبط با ایده‌ی کدگذاری، بازدهی جاسازی و امنیت الگوریتم نهان‌نگاری را افزایش می‌دهد. در (بیربراور ۰۱، ص ۲۲-۱۳) نشان داده شده است که عملکرد کدهای غیرخطی در نهان‌نگاری نسبت به کدهای خطی بهتر است.

در مواردی دیگر طی یک فرآیند تکراری تلاش می‌کنند تا اعوجاج ناشی از جاسازی را با بهینه‌سازی یک تابع برازنده‌ی کاهش دهند؛ گروهی بهمنظور تحقیق این آرمان از الگوریتم ژنتیک بهره برده‌اند؛ میلانی فرد و همکارانش در (میلانی فرد ۰۲، ص ۲۲-۲۰) روشی را برای بهبود روش OutGuess با استفاده از الگوریتم ژنتیک ارائه کردند، (لینگ و همکارانش در سال ۲۰۰۹) از ویژگی قالبی‌شدن در تصویر به هنگام جاسازی استفاده کردند و تابع برازنده‌ی مبتنی بر این اثر را بهینه می‌کنند و بدین ترتیب نحوه‌ی تغییر ضرایب را تعیین می‌کنند (لینگ ۰۹، ص ۳۹۳-۴۰۰). البته این واقعیت وجود دارد که با نهان‌نگاری اثر قالبی‌شدن افزایش می‌یابد؛ زیرا نهان‌نگاری و تغییر ضرایب DCT نوعی گستینگی (با عدم همبستگی) بین بلوک‌های مجاور ایجاد می‌کند؛ ولی نکته اینجاست که خود فرآیند فشرده‌سازی JPEG هم این اثر را ایجاد می‌کند که در تصاویر با ضریب کیفیت پایین این اثر مشهودتر است؛ لذا تمایز برقرار کردن بین آن دو مشکل می‌یابشد.

در (کودوفسکی ۰۱، ص ۱-۱۳) عوامل مؤثر بر امنیت در نهان‌نگاری در تصاویر JPEG مثل الگوریتم جاسازی، اثر فرکانس‌های مکانی، بافت تصویر و... مورد بررسی قرار گرفته شده است. در برخی از تحقیقات برای بالابدن امنیت، محدودیت‌هایی را روی پارامترهای تعیین کننده قرار می‌دهند (فردریک ۰۵، ص ۶۷-۱۱)، (سکای ۰۱، ص ۰۰۰۱، امیرالزمان ۰۱).

#### ۴-۶-روش‌های مقاوم در برابر حملات خاص

از زمانی که روش‌های نهان‌نگاری مطرح شد و به دنبال آن الگوریتم‌های نهان‌کاوی ارائه گردید، همواره یک رقابت بین آن دو وجود دارد. بسیاری از روش‌ها با ایده‌ی مقاوم‌بودن در برابر حملات خاص شکل گرفته‌اند؛ به عنوان مثال می‌توان از روش F3 یاد کرد که جای خود را به F4 داد و سپس درنهایت F5 ارائه شد (ساتیش ۰۴، ص ۰۰۲-۰۵)، (وانگ ۰۲، ص ۱۱-۱۴). از نمونه‌های دیگر این گروه می‌توان

می‌توان به روش F5 اشاره کرد که در آن وستفلد (وستفلد ۰۱، ۲۰۰۱)، از ایده‌ی ماتریس کدگذاری مطرح شده توسط کراندل (کراندل ۹۹، ۱۹۹۱)، بهره گرفته است؛ در این روش طی فرآیند جاسازی، مقدار ضریب DCT مورد نظر تنها یک واحد کاهش می‌یابد و جاسازی در ضریب غیر صفر انجام می‌شود. در این روش، چنان‌چه حین جاسازی، یک ضریب صفر شود (که این اتفاق تنها در مورد ضرایب با مقادیر ۱ و -۱ خواهد افتاد) مقدار صفر رها می‌شود (پدیده‌ی انقباض)، و بیت پیام مورد نظر دوباره پنهان می‌گردد؛ البته بایستی یادآور شویم که پدیده‌ی انقباض، تأثیر منفی روی هیستوگرام ضرایب DCT خواهد داشت و درواقع روشی که تکیک F5 با آن شکسته شده از همین اثر منفی آن روی هیستوگرام ضرایب DCT کمک گرفته است (فردریک ۰۳، ۲۰۰۳، ص ۳۱-۳۲). با هدف رفع مشکلات F5 بهبودهایی روی آن انجام گرفت (فردریک ۰۶، ۲۰۰۶، کیم ۰۷، ۲۰۰۷، کودوفسکی ۰۱)، افراد بسیاری با هدف کاهش اعوجاج از روش‌های جاسازی مبتنی بر کدگذاری استفاده کرده‌اند؛ به عنوان مثال (کیم در سال ۰۶) بهمنظور کاهش اعوجاج ناشی از جاسازی، تغییراتی بر روی روش تغییر ضرایب در ماتریس جاسازی داده است تا اعوجاج ناشی از جاسازی کمینه گردد. در روش ارائه شده در (فردریک ۰۶، ۲۰۰۶، ص ۰۲-۱۱)، (فردریک ۰۴، ۲۰۰۴، فردریک ۰۷، ۲۰۰۷، ص ۰۲-۱۵) از روش کدگذاری Wetpaper استفاده شده است که با استفاده از آن، علاوه‌بر این که اعوجاج ناشی از جاسازی کاهش می‌یابد، بازدهی جاسازی هم افزایش می‌یابد. (ولیامز ۰۵، ۲۰۰۵) از کدهای همینگ و کد گولوی سه تایی<sup>۱</sup> استفاده کرده‌اند (ولیامز ۰۵، ۲۰۰۵، ص ۰۹-۱۰) (زنگ و همکارانش در سال ۰۶) و (فردریک و همکارانش در سال ۰۷) به طور مستقل روش جاسازی مبتنی بر کدهای همینگ سه تایی را ارائه کرده‌اند (زنگ ۰۶، ۲۰۰۶، ص ۱۱-۱۳)، (میلیکانین و همکارانش فردریک ۰۷، ۲۰۰۷، ص ۴۵-۱۵) (میلیکانین و همکارانش در سال ۰۶) ایده‌ی کدگذاری بسیار ساده‌ای را ارائه کرده‌اند؛ که امکان پنهان کردن دو بیت پیام در دو ضریب با یک تغییر را فراهم آورده است. (وانگ و همکارانش در سال ۰۷ و ۰۸) روشی را مبتنی بر ماتریس جاسازی بازگشتی ترکیبی<sup>۲</sup> HRME ارائه کردند (وانگ ۰۷، ۲۰۰۷، ص ۰۱-۱۵)، (وانگ ۰۸، ۲۰۰۸، ص ۰۱-۱۵). اگر چه برخی از

<sup>۱</sup> Ternary Hamming and Golay codes

<sup>۲</sup> Hybrid Recursive Matrix Encoding



تصویر ۲۵۶×۲۵۶ تایی تنها امکان جاسازی ۴۰۹۶ بیت وجود داشت (کوبایاشی ۱۹۹۹، ص ۱۴۶۹-۱۴۷۶، نوگاچی ۲۰۰۰)، ص ۵۱۰-۵۷۷). مارول (مارول ۲۰۰۰) روشی مبتنی بر میانگین را برای جاسازی یک بیت در یک قالب ۸×۸ ضرایب DCT چندی شده شده ارائه کرد. روش‌های دیگری چون (ژاکوبسین ۲۰۰۳، سولانکی ۲۰۰۳، سولانکی ۲۰۰۲) در این حوزه قرار می‌گیرند.

#### ۴-۳-نهان‌نگاری در حین فرآیند فشرده‌سازی

در برخی از روش‌ها حین فرآیند جاسازی، تصویر فشرده‌نشده‌ی اوّلیه مورد نیاز است و فرآیند جاسازی حین فشرده‌سازی انجام می‌شود؛ به طور معمول از اطلاعات اضافی حاصله برای بالا بردن امنیت و کاهش اثرات ناشی از جاسازی استفاده می‌کنند؛ از جمله‌ی این روش‌ها می‌توان به روش PQ اشاره کرد که توسط (فردریک و همکارانش در سال‌های ۲۰۰۴ و ۲۰۰۷) ارائه شده است و در برابر برخی از روش‌های تحلیل، مقاوم است (خرازی ۲۰۰۵، ص ۱۷-۲۰). البته در (گل ۲۰۰۷، ص ۲۰۵-۲۰۱) روشی برای تحلیل PQ ارائه شده است.

#### ۴-۴-نهان‌نگاری در حوزه‌ی متفاوت

در این روش‌ها ابتدا جاسازی اطلاعات در یک حوزه‌ی دیگر (مثل حوزه‌ی مکان یا حوزه‌ی تبدیل) به‌گونه‌ای مقاوم در برابر فشرده‌سازی JPEG انجام می‌شود؛ چراکه فشرده‌سازی در تصویر، اعوجاج‌هایی ایجاد می‌کند که می‌توانند به پیام آسیب برسانند، درنهایت گنجانه فشرده می‌شود (فردریک ۲۰۰۵، ص ۱۱-۶۷، ۲۰۰۷، لی ۲۰۰۶، ص ۱۰۰-۱۰۰).

در مورد روش‌های نهان‌نگاری در حوزه‌ی مکان (پیکسل‌های تصویر)، (فردریک در سال ۲۰۰۱) نشان داده که پیام پنهان شده در فضای پیکسلی یک تصویر که در قبل به فرمت JPEG بوده، حتی اگر به کوچکی یک بیت باشد، قابل کشف است. این کار با انجام آزمایش سازگاری JPEG برای هر قالب ۸×۸ صورت می‌گیرد؛ لذا روش‌های نهان‌نگاری در حوزه‌ی مکان مورد توجه نیستند و روش‌های نهان‌نگاری در حوزه‌های دیگر مثل حوزه‌ی تبدیل، مورد توجه قرار می‌گیرند.

یکی از نکاتی که باعث می‌شود سیستم‌های نهان‌کاوی بتوانند وجود پیام پنهانی را در یک تصویر آشکار

به روش OutGuess اشاره کرد که برای مقابله با نقاط ضعف Jsteg مطرح شده است یا روش LSB-GEA (هوانگ ۲۰۰۷) که با هدف شکست حمله‌ی X2 ارائه شده است.

#### ۷-۲-۴-روش‌های بی اتلاف

در برخی از کاربردها مثل کاربردهای قضایی، پژوهشی و نظامی، علاوه‌بر پیام، بازیابی پوشانه با استفاده از گنجانه اهمیت زیادی دارد. روش‌هایی را که بدین طریق عمل می‌کنند، روش‌های بی اتلاف<sup>۱</sup>، برگشت‌پذیر<sup>۲</sup>، بدون خطأ<sup>۳</sup> یا معکوس‌پذیر<sup>۴</sup> می‌گویند (لی ۱۹۹۱، ص ۹۶۷-۹۱).

از جمله‌ی این روش‌ها می‌توان به روش‌های (وو ۹۰۹، ۲۰۰۰-۲۲۳، ۱۹۷۳-۱۹۹۷، بارتزن ۱۹۹۷، فردیریک ۲۰۰۱، ۲۰۰۲) اشاره کرد. بارتزن (۱۹۹۷) اولین کسی بود که الگوریتمی بی اتلاف به منظور نشانه‌گذاری<sup>۵</sup> در رسانه‌های دیجیتال شامل تصاویر JPEG و کدهای MPEG ارائه کرد. در سال ۲۰۰۱ فردیریک و همکارانش دو روش بی اتلاف برای نهان‌نگاری در تصاویر JPEG ارائه کردند: روش اوّل مبتنی بر فشرده‌سازی بی اتلاف، رشته‌بیت‌های به دست آمده از ضرایب DCT چندی شده است؛ و روش دوم ماتریس چندی‌سازی را تغییر می‌دهد تا به یک روش فشرده‌سازی بی اتلاف برسد. (چنگ و همکارانش در سال ۲۰۰۹) روشی بی اتلاف را برای نهان‌نگاری در ضرایب DCT چندی شده ارائه نمودند.

در یک دسته‌بندی دیگر روش‌های نهان‌نگاری در JPEG لبرا می‌توان به دو گروه روش‌های نهان‌نگاری در ضرایب DCT چندی شده و چندی‌نشده تقسیم نمود.

#### ۸-۲-۸-نهان‌نگاری در ضرایب چندی شده

در روش‌هایی که از ضرایب DCT چندی شده برای نهان‌نگاری استفاده می‌شود، به طور معمول تصاویر ورودی از نوع JPEG هستند. اولین روشی که برای جاسازی داده در تصاویر JPEG ارائه شد، براساس جاسازی اطلاعات در ضرایب DCT چندی شده عمل می‌کرد؛ در این روش از همه‌ی ۶۴ ضرایب DCT موجود در یک قالب برای جاسازی تنها یک بیت پیام استفاده می‌شد؛ بنابراین ظرفیت نهان‌نگاری در آن بسیار پایین بود به طور مثال برای یک

<sup>1</sup> Lossless

<sup>2</sup> Reversible

<sup>3</sup> Distortion-free

<sup>4</sup> Invertible

<sup>5</sup> Authentication

(کودوفسکی ۲۰۰۱، ص ۱۱-۱)، با این وجود در (۱۹۹۲، CCITT) روشی خاصی، به منظور تحلیل این الگوریتم ارائه شده است.

از دیگر روش‌های نهان‌نگاری در حوزه‌ی DCT که نسبت به فشرده‌سازی JPEG مقاوم است، می‌توان به روش‌های معرفی شده توسط لانگلار (لانگلار، ۲۰۰۰) و هرناندز (هرناندز ۲۰۰۰) اشاره نمود.

برخی از روش‌ها از حوزه‌ی موجک برای نهان‌نگاری استفاده می‌کنند و در این حوزه، روش جاسازی مقاومی نسبت به فشرده‌سازی JPEG ارائه کرده‌اند (میرولادا، ۲۰۰۱/اینووه، ۱۹۹۱، چی ۲۰۰۴؛ که البته تحلیل این روش‌ها، با الگوریتم‌های مطرح شده توسط فرید امکان‌پذیر است (فرید، ۲۰۰۳، ص ۹۰۵-۹۰۱).

(دولیزچاور و همکارانش در سال ۲۰۰۳) روش نهان‌نگاری بی‌اتلاف مبتنی بر تئوری Patchwork را که نسبت به فشرده‌سازی JPEG مقاوم است، بیان کردند که درواقع تنها روش نهان‌نگاری بی‌اتلاف مقاوم، نسبت به فشرده‌سازی JPEG است (لوهه، ۲۰۰۰).

به طور کلی اگرچه در این دسته از روش‌ها به دلیل عبور تصویر گنجانه از فرآیند فشرده‌سازی، تصویر گنجانه‌ی نهایی، مشخصات آماری مشابه با پوشانه دارد؛ ولی خاطر نشان می‌سازیم که برای بازگشت‌پذیر بودن آن بایستی پیام را با روش مقاوم نسبت به فشرده‌سازی پنهان نمود؛ که همین امر خود می‌تواند باعث تجمع خطأ در تصویر شود و امنیت را کاهش دهد.

کنند، همبستگی بین ضرایب مجاور تبدیل کسینوسی گستته است و این که در طیف فرکانسی تصاویر طبیعی، بیشتر انرژی در فرکانس‌های پایین متتمرکز است. یک راه حل برای غلبه بر این مسئله، اضافه کردن نوافه به تصویر در فضای مکانی و سپس بردن تصویر به حوزه‌ی تبدیل و جاسازی بیت‌ها در ضرایب حوزه‌ی تبدیل است (الترکی ۲۰۰۱، ص ۲۲۸-۲۳۳).

از دیگر روش‌های مطرح شده با این ویژگی، روش YASS (سولانکی ۲۰۰۷ و ۲۰۰۱) است. در اکثر روش‌هایی که از حوزه‌ی تبدیل برای جاسازی استفاده می‌کنند، نوعی قالب‌بندی وجود دارد. در صورتی که این قالب‌بندی برای حمله‌کننده مشخص باشد، حمله‌کننده می‌تواند به بسیاری از خواص آماری قالب، دسترسی پیدا کند و از آن‌ها برای اجرای حمله‌ای موفق استفاده کند؛ درواقع یکی از دلایل موققیت روش‌های حمله به جاسازی در حوزه‌ی فرکانس، وجود قالب‌های هماندازه و منظم می‌باشد. لذا در این دسته از روش‌ها ابتدا تصویر با قالب‌های  $m \times n$  که در آن‌ها  $8 \times 8 < m < 8, n < 8$  می‌باشد قالب‌بندی می‌شود؛ آن‌گاه قالب به شکل تصادفی در قسمتی از قالب بزرگ‌تر انتخاب شده و سپس روی آن تبدیل DCT اعمال می‌شود و سپس فرآیند جاسازی ادامه می‌یابد. با توجه به آن که تصویر گنجانه بعد از جاسازی پیام وارد فرآیند فشرده‌سازی می‌شود، مشخصات آماری گنجانه حاصل با ویژگی‌های آماری تصویر طبیعی مطابقت دارد. لذا این الگوریتم در مقابل روش‌های تحلیل عمومی که به نوعی بر ویژگی‌های درجه‌بندی یا ویژگی‌هایی مبتنی بر نوافه تکیه دارند، به طور کامل مقاوم است.

(جدول ۱۰) لیست نرم‌افزارهای نهان‌نگاری در تصاویر JPEG که منبع اصلی آن‌ها در اختیار نیست.

نام نرم‌افزار	فرمت‌های پشتیبان	نرم‌افزار نهان‌کار
Crypto123	JPEG,BMP	-
IBM DLS	PNG,BMP, GIF, JPEG,	-
Invisible Secrets	JPEG	StegSpy
Info Stego	JPEG, GIF,BMP	-
Syscop	JPEG	-
StegMark	JPEG,GIF,BMP,PNG,TGA,TIF	-
JPEGx	JPEG	StegSpy
DCT-Steg	JPEG	-
EikonAmark	JPEG	-
AppendX	JPEG, GIF,PNG	Stegdetect



(جدول ۱۱) فهرست نرم افزارهای نهان نگاری در تصاویر JPEG که منبع اصلی آنها در اختیار است.

نام نرم افزار	نویسنده	فرمت	جاسازی	رمز نگاری	تحلیل
Camera Shy	-	JPEG,	LSB	-	-
F5	Andreas Westfeld	JPEG,GIF,BMP	LSB	-	Fridrich's Algorithm, Stegdetect
JP Hide and Seek	-	JPEG,	-	-	StegSpy
Jsteg JPEG	Derek Upham	JPEG,	LSB	-	$X^2 t$ , Stegdetect- Fridrich's Algorithm
OutGuess v.0.13b	Provost Honeyman	JPEG,	LSB	RC4	X2 (ev), Stegdetect, StegBreak
OutGuess v.0.2b	Provost Honeyman	JPEG,	LSB	RC4	-Fridrich's Algorithm
Steghide	-	JPEG, BMP,WAV			-
JSteg-Shell	John Korejwa	JPEG,	LSB	RC4	$X^2$ -test, StegBreak
JPhide	Allan Latham	JPEG,		Blowfish	Stegdetect, $X^2$ , StegBreak

- ۲- روشی که برای جاسازی استفاده شده است.
  - ۳- نوع رمز نگاری پیام.
  - ۴- روش هایی که می توان با آن تصاویر گنجانه هی تولید شده را تحلیل کرد.
- فهرست این روش ها در (جدول ۱۱) آمده است.

#### ۴-۶- پیاده سازی برخی از روش ها

به منظور ارزش بابی و ارزیابی روش های نهان نگاری، در نرم افزار Stegotest برخی از الگوریتم های نهان نگاری چون جای گذاری ترتیبی در کم ارزش ترین بیت ضرایب DCT (S-LSB-F)، جای گذاری تصادفی در کم ارزش ترین بیت ضرایب (R-LSB-F) DCT، جای گذاری های مبتتنی بر مدل MB1 و MB2، روش F5، روش تطبیق کم ارزش ترین بیت به شکل ترتیبی M-S-LSB-M و نیز روش تطبیق کم ارزش ترین بیت به شکل تصادفی R-LSB-M پیاده سازی شده اند.

در (شکل های ۲ تا ۵) مقادیر PSNR صد تصویر گنجانه در چهار ضریب کیفیت (۹۹، ۸۵، ۷۰، ۴۵) برای روش های مطرح شده، آورده شده است.

در (جدول ۱۲)، PSNR میانگین را برای دسته تصویر های گنجانه در چهار ضریب کیفیت (۹۹، ۸۵، ۷۰، ۴۵) که از روش های نهان نگاری فوق در نرخ جاسازی ۱۰۰ تولید شده اند، آورده ایم.

در (جدول ۱۳) خطای نرم افزار نهان کاو برای چند روش مختلف برای تصاویر با ضریب کیفیت هفتاد نشان داده شده است.

#### ۴-۵- نرم افزارهای نهان نگاری در JPEG

با توجه به کاربردی بودن فرمت JPEG، تعداد نرم افزارهای نهان نگاری و نهان کاوی که قابلیت کار با این فرمت را دارند زیاد است. برخی از مقالات مشخصات نرم افزارهای نهان نگاری در رسانه های مختلف را جمع آوری نموده اند (حیاتی ۲۰۰۶). در این قسمت برخی از نرم افزارهای موجود را که قادر به نهان نگاری در تصاویر با فرمت JPEG هستند معرفی می کیم.

به طور کلی نرم افزارهای موجود را می توان به دو گروه نرم افزارهایی که منبع اصلی آنها در اختیار است و نرم افزارهایی که منبع اصلی آنها در اختیار نیست، طبقه بندی نمود.

در مورد روش هایی که منبع اصلی آنها در اختیار نیست؛ ارزیابی بر اساس فرمت هایی که پشتیبانی می کنند و هم چنین نرم افزارهای که می توانند این روش ها را تحلیل کنند؛ انجام شده است. فهرست این نرم افزارها در (جدول ۱۰) آورده شده است.<sup>۲</sup> برخی از این نرم افزارها در هنگام نوشتن این مقاله در دسترس بودند، یعنی امکان دسترسی به آنها و سایت آنها وجود داشت و البته برخی از آنها مثل EikonAmark، DCT-Steg، Appendix در اختیار نبودند.

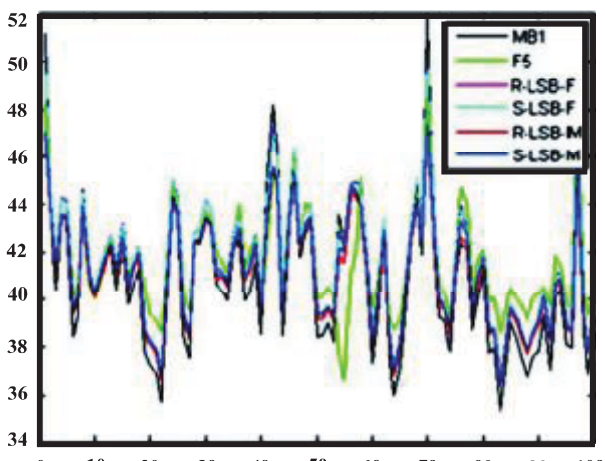
در مورد روش هایی که منبع اصلی آنها در اختیار است<sup>۳</sup>، ارزیابی و مقایسه بر اساس نکات زیر انجام شده است:

- فرمت هایی که علاوه بر JPEG پشتیبانی می کنند.

<sup>1</sup> Source

<sup>2</sup> آدرس اینترنتی نرم افزارهای مذکور در انتهای مقاله ذکر شده است.

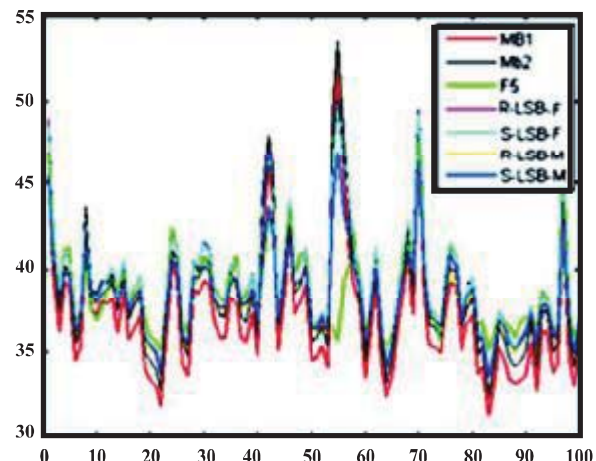
<sup>3</sup> آدرس اینترنتی نرم افزارهای مذکور در انتهای مقاله ذکر شده است.



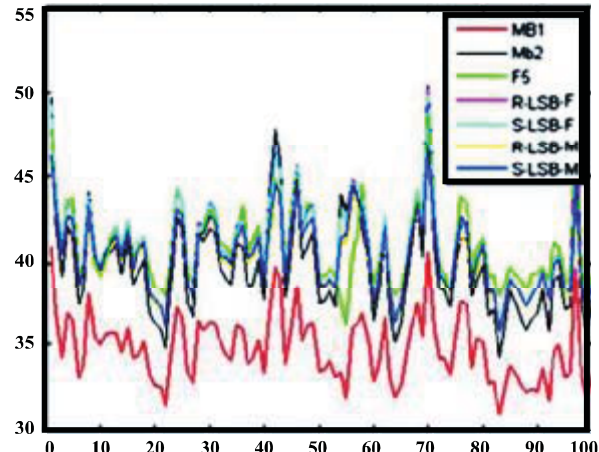
(شکل ۱) مقادیر PSNR برای صد تصویر با ضریب کیفیت ۹۹ و شش روش جاسازی مختلف (منحنی افقی، شماره‌ی تصویر و منحنی عمودی مقادیر)

(جدول ۱۲) میانگین برای هفت روش نهان‌نگاری (جای‌گذاری ترتیبی در LSB)، (S-LSB-F)، (R-LSB-F) و (S-LSB-M) در تطبیق LSB به شکل ترتیبی LSB، (R-LSB-M) به شکل تصادفی LSB و (S-LSB-M) به شکل تصادفی LSB مبتنی بر مدل MB1 و MB2، روش F5 در نزخ جاسازی ۱۰۰ برای تصاویر ورودی با ضریب کیفیت‌های ۹۹، ۸۵، ۷۰، ۴۵ و ۳۴

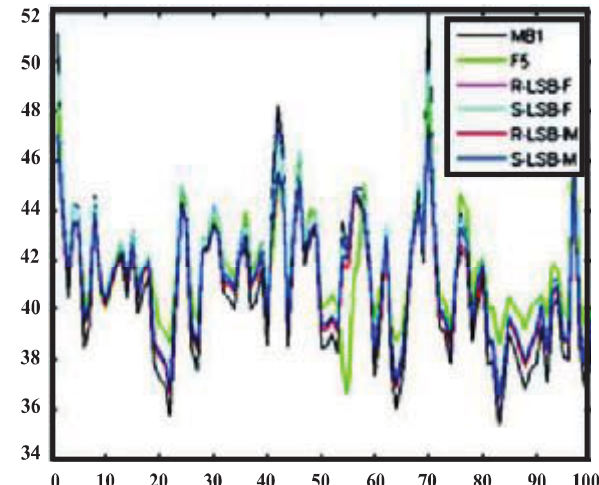
QF Method	۴۵	۷۰	۸۵	۹۹
S-LSB-F	۳۹.۰۷	۴۰.۸۱	۴۱.۴۵	۴۵.۱۲
R-LSB-F	۳۹.۰۵	۴۰.۷۷	۴۱.۴۳	۴۵.۰۹
S-LSB-M	۳۸.۲۸	۴۰.۴	۴۱.۱۱	۴۵.۰۶
R-LSB-M	۳۸.۱۴	۴۰.۲۴	۴۰.۹۶	۴۴.۹۳
MB1	۳۸.۳۹	۳۹.۷۲	۴۰.۷۴	۴۳.۶۴
MB2	۳۷.۱۵	۳۴.۷۸	-	-
F5	۳۸.۰۳	۴۰.۹۲	۴۱.۰۸	۴۴.۸۶



(شکل ۲) مقادیر PSNR برای صد تصویر با ضریب کیفیت ۴۵ و هفت روش جاسازی مختلف (منحنی افقی، شماره‌ی تصویر و منحنی عمودی مقادیر)



(شکل ۳) مقادیر PSNR برای صد تصویر با ضریب کیفیت ۷۰، و هفت روش جاسازی مختلف (منحنی افقی، شماره‌ی تصویر و منحنی عمودی مقادیر)



(شکل ۴) مقادیر PSNR برای صد تصویر با ضریب کیفیت ۸۵، و شش روش جاسازی مختلف (منحنی افقی، شماره‌ی تصویر و منحنی عمودی مقادیر)



۵- بحث و نتیجه‌گیری

بررسی و ارزیابی الگوریتم‌های نهان‌نگاری به شناسایی هر چه یکی‌ستهاد روش‌های نهان‌نگاری مقاوم‌تر منجر می‌شود.

در این مقاله با مطالعه و بررسی ساختار فرمت JPEG عوامل و پیزگی‌های مؤثر در امنیت را که وابسته به پوشانه است، استخراج کرده و اثر هر یک را به صورت ریاضی و تجربی مورد تحلیل و ارزیابی قرار داده‌ایم؛ و بدین ترتیب راهکارهای عمومی برای افزایش امنیت در روش‌های پنهان‌نگاری در JPEG را با توجه به پوشانه معرفی کردیم. سپس بازنگری جامعی بر روی روش‌های نهان‌نگاری در این فرمات انجام شد و آن‌ها را در سه دسته: ۱-روش‌های پنهان‌نگاری در JPEG با استفاده از پیزگی‌هایی ساختار فایل، ۲-روش‌های نهان‌نگاری در ضرایب DCT، ۳-روش‌های پنهان‌نگاری حین فرآیند فشرده‌سازی، دسته‌بندی کردیم؛ و

در هر گروه هم بسته به عواملی چون امنیت، کاربرد و... طبقه‌بندی‌های مختلفی انجام دادیم. هم‌چنین به منظور تحلیل و ارزیابی، الگوریتم‌های نهان‌نگاری موجود، نرم‌افزار Stegotest را طراحی کرد و برخی از الگوریتم‌ها را در قالب آن پیاده سازی کردیم. در ادامه این تحقیق می‌توان سایر ویژگی‌های مؤثر در امنیت سیستم‌های نهان‌نگاری در JPEG را مثل اثر تابع جاسازی، پیام و کلید را شناسایی کرد و بدین ترتیب به ارزیابی و تحلیل دقیق‌تر روش‌های یاد شده و نرم‌افزارهای معرفی شده پرداخت.

(جدول ۱۳) خطای نرم افزار نهان کاو برای شش روش نهان نگاری (جای گذاری ترتیبی در LSB ضرایب DCT (S-LSB-F)، جای گذاری تصادفی در LSB ضرایب DCT (R-LSB-F) و جای گذاری مبتنی بر مدل MB1، روش F5، تطبیق LSB به شکل ترتیبی S-LSB-M و نیز تطبیق LSB به شکل تصادفی R-LSB-M در ۱۰ نرخ جاسازی برای تصاویر ورودی با ضریب کیفیت ۷۰. مقادیر  $P_E$ ,  $P_{FA}$ ,  $P_{FR}$  به ترتیب احتمال انتخاب گنجانه ها به جای پوشانه، احتمال تشخیص نادرست پوشانه ها به عنوان گنجانه ها و خطای نهایی نرم افزار نهان کاو هستند. نتایج در ۱۰ ظرفیت متفاوت گزارش شده است.

نرخ جاسازی	cover	F5		MB1		R-LSB-M		S-LSB-M		R-LSB-F		S-LSB-F	
	$P_{FA}$	$P_{FR}$	$P_E$										
۱۰	۳۳	-	-	-	-	۲۸	۳۰.۵	۲۵	۲۹	۲۷	۳۰	۲۴	۲۸.۵
۲۰	۳۳	۶۳.۲	۴۸.۱	۶۸.۶	۵۰.۸	۱۳	۲۳	۱۰	۲۱.۵	۱۵	۲۴	۱۱	۲۲
۳۰	۳۳	-	-	-	-	۳	۱۸	۱	۱۷	۵	۱۹	۳	۱۸
۴۰	۳۳	۵۸.۰۲	۴۵.۵	۶۹.۳	۵۱.۱	۱	۱۷	.۴	۱۶.۷	۲	۱۷.۵	.۹	۱۸.۹
۵۰	۳۳	-	-	-	-	.۶	۱۶.۸	.۳	۱۶.۶۵	.۹	۱۶.۹	.۳	۱۶.۹
۶۰	۳۳	۵۴.۰۶	۴۳.۵	۶۷.۸	۵۰.۴	.۵	۱۶.۷۵	.۳	۱۶.۶۵	.۲	۱۶.۶	.۳	۱۶.۶
۷۰	۳۳	-	-	-	-	.۲	۱۶.۶	.۴	۱۶.۷	.۲	۱۶.۶	.۲	۱۶.۶
۸۰	۳۳	۵۲.۴	۴۲.۷	۶۸.۸	۵۰.۹	.۱	۱۶.۵۵	.۱	۱۶.۵۵	.۲	۱۶.۶	.۰۹	۱۶.۵
۹۰	۳۳	-	-	-	-	.۲	۱۶.۶	.۱	۱۶.۵۵	.۰۹	۱۶.۵	.۲	۱۶.۶
۱۰۰	۳۳	۵۲.۲	۴۸.۱	۶۹.۱	۵۱.۰۵	.۲	۱۶.۶	.۰۹	۱۶.۵	.۱	۱۶.۵	.۳	۱۶.۶

## ۶- منابع

- asset management. IEEE Tran.Multimedia, Vol. 5, pp. 97-105.
- Eggers, J.J. Bauml, R. and Girod, B. 2002.** A communications approach to image steganography. Proceedings of SPIE, Vol. 4675, pp.26-37.
- Fabien A.P.,Petitcolas J.Ross, 1999,**evaluation of copyright systems",IEEE International Conference on multimedia computing and systems,Vol 1, pp.574-579,
- Farid, H. 2002.** Detecting hidden messages using higher-order statistical models. in Proc. ICIP2002, Vol. 2, pp. II-905-II-908.
- Franz, E. 2002.** Steganography preserving statistical properties. in 5th International Working Conference on Communication and Multimedia Security.
- Franz, E. and Schneidewind, A.2005.** Pre-processing for adding noise steganography. In M. Barni, J. Herrera,S. Katzenbeisser, and F. Pérez-González, editors, Proceedings, Information Hiding, 7th International Workshop,Volume 3727 of Lecture Notes in Computer Science, pp. 189–203.
- Fridrich, J. 2005.** Feature-based steganalysis for jpeg images and its implications for future design of steganographic schemes. In: Proceedings sixth information hiding workshop'04, LNCS 3200, Springer, New York, pp 67–81.
- Fridrich, J. 2006.** Minimizing the embedding impact in steganography. In J. Dittmann and J. Fridrich, editors, Proceedings ACM Multimedia and Security Workshop, Geneva, Switzerland, pp. 2–10.
- Fridrich, J. and Goljan, M. 2002.** Digital image steganography using stochastic modulation. in Proceedings of SPIE: Security, Steganography, and Watermarking of Multimedia Contents IV, Santa Clara, CA, USA, pp. 191-202.
- Fridrich, J. and Goljan, M. 2003.** Secure digital image steganography using stochastic modulation. In E.J. Delp and P.W. Wong, editors, Proceedings SPIE, Electronic Imaging, Security, Steganography, and Watermarking of Multimedia Contents V, Santa Clara, CA, January 21–24, Vol. 5020, pp. 191–202.
- Fridrich, J. and Lisoněk, P. 2007.** Grid coloring in steganography. IEEE Trans. Information. Theory, Vol. 53, no. 4, pp. 1547–1549.
- Fridrich, J. Goljan, M. and Du, R. 2001** Steganalysis based on jpeg compatibility. SPIE Multimedia Systems and Applications IV, Denver, CO, August 20–24.
- Fridrich, J. Goljan, M. and Du, R. 2001.** Invertible Authentication Watermark for jpeg Images. ITCC 2001, Las Vegas, Nevada,pp. 223-27.
- Fridrich, J. Goljan, M. and Holga, D. 2003.** steganalysis of jpeg images: breaking the F5 algorithm. Lecture notes in computer scince, Vol. 2578, Springer, Berlin Heidelberg New York, pp. 310-322.
- Fridrich, J. Goljan, M. and Soukal, D. 2004.** Perturbed Quantization Steganography with Wet Paper Codes. in Proc. ACM Multimedia and Security Workshop, Magdeburg, Germany, pp. 4-15.
- Almohammad, R M. Hierons, G Ghinea. 2008.** High Capacity Steganographic Method Based Upon jpeg. Ares, Third International Conference on Availability, Reliability and Security, pp.544-549.
- Alturki, F. and Mersereau, R. 2001.** A Novel Approach for Increasing Security and Data Embedding Capacity in Images for Data Hiding Applications. Proc. ITCC, Las Vegas, NV, pp. 228–233.
- Amiruzzaman, Md. Hyoung, JK.2008.** Secure Steganographic Method. VIE 08, Printed and published by the IET.
- Anderson, R.J. Petitcolas, F.A.P. 1998.** On the Limits of Steganography. IEEE Journal of Selected Areas in Communications, Special Issue on Copyright and privacy Protection, Vol. 16,No.4, pp.474-481.
- Barton, J. M. 1997.** Method and apparatus for embedding authentication information within digital data. U.S. Patent5, 646 ,997.
- Bernd. Girod.** lecture notes, [www.stanford.edu/class/ec392c/lectures/chapter05.pdf](http://www.stanford.edu/class/ec392c/lectures/chapter05.pdf).
- Bierbrauer, J. and Fridrich, J. 2008.** Constructing good covering codes for applications in Steganography. lecture note in computer sience, Springer,Vol 4920,pp.1-22.
- Bohme, R. and Westfeld, A. 2004.** Breaking Cauchy model-based jpeg steganography with first order statistics. P. Samarati et al (Eds.): ESORICS 2004, LNCS 3193, pp. 125-140.
- Cachin, C. 1998.** An information-theoretic model for steganography'. In D. Aucsmith, editor, Information Hiding, 2nd International Workshop, Lecture Notes in Computer Science, Vol.1525 pp. 306–318.
- CCITT T.81, Information technology.** Digital compression and coding of continuous-tone still images. Requirements and guidelines September 1992 <<http://www.w3.org/Graphics/jpeg/itu-t81.pdf>>.Chae, J.J. Manjunath, B. S. 1008. A Robust Embedded Data from Wavelet Coefficients. SPIE: Storage and Retrievalfor Image and Video Databases VI, Vol.3312, pp.308-317.
- Chang, C. C. Chen, T. S. and Chung, L. Z. 2002.** A steganographic method based upon jpeg and quantization table modification", Information Sciences, Vol. 141, pp. 123-138.
- Chen, B. and Wornell, G.W. 2001.** Quantization index modulation: A class of provably good methods for digital watermarking and information embedding. IEEE Trans. on Information Theory, Vol.47, no.4, pp.1423-1443.
- Crandall, R. Some Notes on Steganography. Posted on Steganography Mailing List (1998)** <http://os.inf.tu-dresden.de/~westfeld/crandall.pdf>.
- Vleeschouwer. De, Delaigle. J. F. and. Macq, B. 2003.** Circular interpretation of bijective transformations in lossless watermarking for media

دوسنی





- Kobayashi, H. Noguchi, Y. Kiya, H.** 1999. A Method of Embedding Binary Data into jpeg Bitstreams. IEICE Trans. Information and Systems, Vol. J83-D, no. 2, pp. 1469-1476.
- Kodovsky, J. and Fridrich, J.** 2008. Influence of embedding strategies on security of steganographic methods in the jpeg domain. in: Proceedings of SPIE Electronic Imaging, Security, Forensics, Steganography, and Watermarking of Multimedia Contents X, San Jose, CA, Vol. 6819, pp. 1-13.
- Langelaar, G. Setyawan, I. & Lagendijk, R.L.** 2000. Watermarking Digital Image and Video Data, IEEE Signal Processing Magazine, pp.20-43.
- Lee, Y.K. Chen, L.H.** 2000. High capacity image steganographic model. Vision, Image and Signal Processing, IEE Proceedings, Vol 147, pp. 288-294.
- Lee, Y.K. Hwei Chen, L.** 1998. Secure Error-Free Steganography for jpeg Images . International journal of pattern recognition and artificial intelligence, Vol. 17, pp. 967-981.
- Li, B. Huang, F. Huang, J.** 2007. steganalysis of lsb greedy algorithm for jpeg images using coefficient symmetry. ICIP
- Li, Q. Yu, C. and Chu, D.** 2006. A Robust Image Hiding Method Based on Sign Embedding and FuzzyClassification. The Sixth World Congress on Intelligent Control and Automation. WCICA. pp.10050-10053.
- Li, X. and Wang, J.** 2007. A steganographic method based upon jpeg and particle swarm optimization algorithm. InformationSciences, Vol.177, No.15, pp3099-31091.
- Li, X. Li, J.** 2008. A new Blind Steganalysis method for jpeg Images. International Conference on Computer Science and Software Engineering.
- Lifang, Y. Yao, Z. Rongrong, N. Zhenfeng, Z.** 2009. PM1 steganography in jpeg images using genetic algorithm. Springer, Vol. 13, no. 4, pp 393-400.
- Lu, C. S.** 2005. multimedia security: steganography and digital watermarking techniques for protection intellectual property.
- Marvel, L.M. Boncelet, C.G. and Retter, C.T.** 1998. Reliable Blind Information Hiding for Images. Lecture Notes on Computer Science, Springer-Verlag, New York, Vol. 1525, No 199, pp. 48-61.
- Marvel, L.M. Hartwig, G.W. and Boncelet, C.** 2000. Compression-compatible fragile and semi-fragile tamper detection. In SPIE EI Photonics West, pp. 131-139.
- Meerwald, P. & Uhl, A.** 2001. A Survey of Wavelet-Domain Watermarking Algorithms. SPIE Symposium, Electronic Imaging, San Jose, CA, USA.
- Mielikainen, J.** 2006. LSB matching revisited. IEEE Signal Process. Lett., Vol. 13, no. 5, pp. 285-287.
- MilaniFard, A. M. Akbarzadeh, R.T. Varasteh, A.** 2006. A New Genetic Algorithm Approach for Secure jpeg Steganography. pp. 22-23.
- Fridrich, J. Goljan, M. and Soukal, D.** 2006. Wet paper codes with improved embedding efficiency. IEEE Transactions on Information Security and Forensics, Vol.1, No.1, pp.102-110.
- Fridrich, J. Goljan, M. Lisonek, P. and Soukal, D.** 2004. Writing on wet paper. in ACM workshop on Multimedia and Security, Magdeburg, Germany.
- Fridrich, J. Kodovsky, J. and Pevny, T.** 2007. Statistically undetectable JPEG steganography: Dead ends, challenges, and opportunities. In ACM Multimedia & Security Workshop, pages 3-14, September 20-21.
- Guillon, P. Furon, T. and Duhamel, P.** 2002. Applied public-key steganography. in Proceedings of SPIE: Security, Steganography, and Watermarking of Multimedia Contents IV.
- Gul, G. Dirik, A. E. Avcibas, S.** 2007. Steganalytic Features for jpeg Compression Based Perturbed Quantization. Signal Processing Letters, IEEE Vol.14, pp.205-208.
- Harmsen, J.J. and Pearlman, W. A.** 2003. Steganalysis of Additive Noise Modelable Information Hiding. Proc. SPIE Electronic Imaging, Santa Clara.
- Hayati, P. Potdar, V. Chang, E.** 2006. A survey of steganographic and steganalytic tools for the digital forensic investigator. available from:  
[http://debill.curtin.edu.au/~pedram/images/docs/survey\\_of\\_steganography\\_and\\_steganalytic\\_tools.pdf](http://debill.curtin.edu.au/~pedram/images/docs/survey_of_steganography_and_steganalytic_tools.pdf)
- Hernandez, J.R. Amado, M. & PerezGonzalez, F.** 200. DCTDomain Watermarking Techniques for Still Images: Detector Performance Analysis and a New Structure. IEEE Trans. Image Processing, Vol.9, pp. 55-68.
- Inoue, H. Miyazaki, A. & Katsura, T.** 1998. An Image Watermarking Method Based on the Wavelet Transform. Kyushu Multimedia System Research Laboratory, In: Proceedings ICIP'99, Kobe, Japan, October, Vol. 1, pp. 296-300.
- Jacobsen, N. Solanki, K. Madhow, U. Manjunath, B. S. and S.Chandrasekaran.** 2002. Image adaptive high Volume data hiding based on scalar quantization. In Proceedings of the IEEE Military Communications Conference (MILCOM), Anaheim, CA, USA.
- Ker, D. Steganalysis of LSB Matching in Grayscale Images.** 2005. IEEE SignalProcessing Letters, Vol. 12, No. 6.
- Kharrazi, M. Sencar, H.T. Memon, N.** 2005. Benchmarking Steganographic and Steganalytic Techniques. in Proc. Elec. Imaging, SPIE, Security, Steganography, and Watermarking of Multimedia Contents VII, San Jose, CA, January 17,20.
- Kim, Y. Duric, Z. and Richards, D.** 2006. Modified matrix encoding technique for minimal distortion steganography. In N. Johnson and J. Camenisch, editors, Information Hiding, 8th International Workshop, Lecture Notes in Computer Science, Vol. 4437, Springer-Verlag, New York.

- Sallee, P. 2005.** Model-based methods for steganography and steganalysis. International Journal of Image Graphics, Vol.5,no. 1,pp.167–190.
- Sarkar, A. Solanki, K. Madhow, U. et al. 2007.** Secure steganography: statistical restoration of the second order dependencies for improved security. IEEE International Conference on Acoustics, Speech, and Signal Processing Honolulu, Hawaii, pp. 277–280.
- Satish, K. Jayakar, T. Tobin, C. Madhavi, K. and Murali, K. 2004.** Chaos based spread spectrum image Steganography. IEEE Transactions on ConsumerElectronics, Vol.50, pp.587-590.
- Shi, Y.Q. Chen, C. and Chen, W. 2006.** A Markov process based approach to effective attacking jpeg steganography. N. Johnson and J. Camenisch, editors, Information Hiding, 8th International Workshop, Volume 4437 of LNCS, Springer-Verlag, New York.
- Solanki, K. Dabeer, O. Manjunath, B. S. Madhow, U. and Chandrasekaran, S. 2003.** A joint source-channel coding scheme for image-in-image data hiding. In Proceedings of ICIP, pp. II-743-746.
- Solanki, K. Jacobsen, N. Chandrasekaran, S. Madhow, U. and Manjunath, B. S. 2002.** High-Volume data hiding in images: Introducing perceptual criteria into quantization based embedding. In Proceedings of ICASSP, Orlando,FL, USA.
- Solanki, K. Sarkar, A. and Manjunath, B. S. 2007.** YASS: yet another steganographic scheme that resists blind steganalysis. in 9th International Workshop on Information Hiding.
- Solanki, K. Sarkar, A. and Manjunath, B. S. 2008.** Further Study on YASS: Steganography Based on Randomized Embedding to Resist Blind Steganalysis. SPIE Security, Steganography, and Watermarking of Multimedia Contents (X) ,San Jose, California.
- Solanki, K. Sullivan, K. Madhow, U. Manjunath, B. S. and Chandrasekaran, S. 2005.** Statistical restoration for robust and secure steganography. in Proc. ICIP, pp. II 1118-21.
- Solanki, K. Sullivan, K. Madhow, U. Manjunath, B. S. and Chandrasekaran, S. 2006.** Provably secure steganography: Achieving zero K-L divergence using statistical restoration. In Proceedings ICIP, Atlanta, GA.
- Sullivan, K. Solanki, K. Madhow, U. Manjunath, B. S. and Chandrasekaran, S. 2006.** Determining achievable rates for secure, zero-divergence, steganography. in Proc. ICIP, pp.121-124.
- Tseng, H. W. and Chang, C. C. 2004.** Steganography using jpeg-compressed images. The Fourth InternationalConference on Computer and Information Technology, CIT '04, pp. 12-17, 14-16.
- Tzschoppe, R. B"aul, R. Huber, J. B. and Kaup, A.** Steganographic system based on higher order statistics. in Proc. SPIE Vol. 5020, Security and
- Moulin, P. and Briassouli, A. 2004.** A stochastic QIM algorithm for robust, undetectable image watermarking. in Proceedings ICIP, Singapore.
- Munirajan, V. K. Cole, E. and Ring, S. 2004.** Transform domain steganography detection using fuzzy inferencesystems. In Proceedings of the IEEE Sixth International Symposium on Multimedia Software Engineering, pp. 286-291.
- Noda, H. Niimi, M. and Kawaguchi, E. 2005.** Application of QIM with dead zone for histogram preserving jpeg steganography. In Proceedings ICIP, Genova, Italy.
- Noguchi, Y. Kobayashi, H. Kiya, H. 2000.** A Method of Extracting Embedded Binary Data from jpeg Bitstreams Using Standard jpeg Decoder. Proceedings of IEEE International Conference on Image Processing, Vancouver,BC, Canada, Vol. 1, pp. 577-580.
- Pevný, T. and Fridrich, J. 2007.** Merging Markov and DCT features for multi-class jpeg steganalysis. In E.J. Delp and P.W. Wong, editors, Proceedings SPIE,Electronic Imaging, Security, Steganography, and Watermarking of Multimedia Contents IX, San Jose,CA, Vol. 6505, pp. 03–04.
- Pevný, T. and Fridrich, J. 2008.** Estimation of primary quantization matrix for steganalysis of double compressed jpeg images. In E. J. Delp and P. W. Wong, editors, Proceedings SPIE, Electronic Imaging, Security, Forensics, Steganography, and Watermarking of Multimedia Contents X, Vol. 6819, pp. 11-13.
- Provost, N. and Honeyman, P. 2003.** Hide and seek: An introduction to steganography. IEEE Security and Privacy, Vol.01,No.3,pp.32-44.
- Provost, N. Honeyman, P. 2001.** Detecting Steganographic Content on the Internet. CITI Technical Report, pp.01-11.
- Rongrong, J. Hongxun, Y. Shaohui, L. Liang, W. and Jianchao, S. 2006.** A New Steganalysis Method for Adaptive Spread Spectrum Steganography. In Proceedings of the International Conference on Intelligent Information Hiding and Multimedia Signal Processing, IIH-MSP '06,pp. 365-368.
- Rossi, L. Garzia, F. and .Cusani, R. 2009.** Peak-Shaped-Based Steganographic Technique for jpeg Images. EURASIP Journal on Information Security Vol.2009, Article ID 382310, 8 pages.
- SAKAI, H. KURIBAYASHI, M. MORII, M. 2008.** Adaptive Reversible Data Hiding for jpeg Images. International Symposium on Information Theory and its Applications, ISITA2008, Auckland, New Zealand.
- Sallee, P. 2004.** Model-based steganography. Digital Watermarking,2nd International Workshop, IWDW 2003, Seoul,Korea, Lecture Notes in Computer Science, Springer-Verlag, New York, Vol. 2939 ,pp.154–167.



ml  
**[jpegx]:**  
<http://www.leetupload.com/dbindex2/index.php?dir=Win32/>.  
**[Sarc]:**  
[www.sarc-wv.com/](http://www.sarc-wv.com/).  
**[stego suit]:**  
[www.weststonetech.com/](http://www.weststonetech.com/).  
**[CameraShy]:**  
<http://hacktivismo.com/projects/index.php/>.  
**[F5]:**  
<http://wwwrn.inf.tu-dresden.de/~westfeld/f5.html> /.  
<http://linux01.gwdg.de/%7Ealatham/stego.html> /.  
<http://www.nic.funet.fi/pub/crypt/steganography/> .  
<http://www.outguess.org/download.php/>.  
**[Steghide]:**  
<http://steghide.sourceforge.net/>  
**[Crypto123]:**  
[http://www.kellysoftware.com/software/Crypto123.asp/](http://www.kellysoftware.com/software/Crypto123.asp)  
**[IBMDLS]:**  
[http://www.research.ibm.com/image\\_apps/commerce.html/](http://www.research.ibm.com/image_apps/commerce.html/).  
**[Invisible Secrets]:**  
<http://www.neo-bytesolutions.com/>  
**[Info Stego]:**  
<http://www.antiy.net/infostego/>  
**[Syscop]:**  
[http://www.mediasec.com/html/en/products\\_services/syscop.htm](http://www.mediasec.com/html/en/products_services/syscop.htm) /.  
**[StegMark]:**  
<http://www.datamark-tech.com/index.htm>  
**[jpegx]:**  
<http://www.leetupload.com/dbindex2/index.php?dir=Win32/>.  
**[DCT-Steg]:**  
[www.jjtc.com/Steganography/tools.html](http://www.jjtc.com/Steganography/tools.html)  
**[EikonAmark]:**  
[www.brothersoft.com/eikonamark-100523.html/](http://www.brothersoft.com/eikonamark-100523.html).  
**[AppendX]:**  
[www.appendx.org/](http://www.appendx.org/).

- Watermarking of Multimedia Contents V, (Santa Clara, CA).
- Ullerich, C. Westfeld, A.** 2008. Weaknesses of MB2. Proceedings of the 6th International Workshop on Digital Watermarking, Lecture Notes In Computer Science, Vol. 5041, pp.127-142.
- Upham, D. Jsteg.** 2002. <ftp://ftp.funet.fi/p/ub/crypt/steganography/>.
- Wang, H. and Wang, S.** 2004. Cyber warfare: Steganography vs. steganalysis. Communication of the ACM, Vol. 47, pp.76-82.
- Wang, Z. and Bovik, A. C.** 2002. A universal image quality index. IEEE Signal Processing Letters ,Vol.9,pp. 81-84.
- Wang, Z. Bovik, A.C. Sheikh, H. R. and Simoncelli, E. P.** 2004. Perceptual image quality assessment: From error visibility to structural similarity. IEEE Trans Image Processing, Vol. 13, no. 4, pp. 600-612.
- Westfeld, A.** 2001. High capacity despite better steganalysis (F5—a steganographic algorithm)", In I.S. Moskowitz, editor, Information Hiding, 4th International Workshop, Lecture Notes in Computer Science, Springer-Verlag, New York, Vol.2137, pp.289-302.
- Westfeld, A.** 2002. Detecting low embedding rates. in Proc. Inf. Hiding Workshop, Springer LNCS, Vol. 2578.
- Willems, F. and Dijk, M.** 2005. Capacity and codes for embedding information in gray-scale signals. IEEE Trans. Inf. Theory, Vol. 51, no. 3, pp.1209-1214.
- Wong, K. and Tanaka, K.** 2007. A steganographic method with recursive matrix encoding on selected blocks and DCT coefficients. Intl. Workshop on Smart Info-Media Systems in Bangkok, pp. 155 – 160.
- Wong, K. and Tanaka, K.** 2008. improvement of stegermele with hybrid recursive matrix encoding. 2008 International Symposium on Intelligent Signal Processing and Communication Systems (ISPACS2008),Swissôtel Le Concorde, Bangkok, Thailand.
- Wong, P. H. W. and Wong, J. W. C.** 2001. A Data Hiding Technique in jpeg Compressed Domain. In Proceedings of SPIE Conference on Security and Watermarking of Multimedia Contents III, San Joes, CA, USA. Vol. 4314, pp. 309-340.
- Wu, H.C. Lee, C.C. Tsai, C.S.** 2009. A high capacity reversible data hiding scheme with edge prediction and difference expansion. pp. 1966-1973.
- Zhang, X. and Wang, S.** 2006. Efficient steganographic embedding by exploiting modification direction. IEEE Commun. Lett, Vol. 10, no. 11, pp. 781–783.
- [Camouflage]:**  
<http://camouflage.unfiction.com/>.
- [Datastash]:**  
[http://www.skyjuicesoftware.com/software/ds\\_info.ht](http://www.skyjuicesoftware.com/software/ds_info.ht)



الهه بیات مدرک کارشناسی خود را در رشته‌ی مهندسی برق - الکترونیک در سال ۱۳۸۵ از دانشگاه آزاد اسلامی (واحد تهران مرکز) و هم اکنون دانشجوی کارشناسی ارشد مهندسی فناوری اطلاعات - مخابرات امن دانشگاه علم و صنعت ایران می‌باشد. زمینه‌های تحقیقاتی مورد علاقه‌ی وی پردازش تصویر و پنهان‌نگاری اطلاعات می‌باشد. نشانی رایانامک ایشان عبارت است از:

[elh.byt@gmail.com](mailto:elh.byt@gmail.com)



فاطمه السادات جمالی دینان مدرک کارشناسی خود را در رشته‌ی مهندسی برق - الکترونیک در سال ۱۳۸۳ از دانشگاه دکتر شریعتی و مدرک کارشناسی ارشد در رشته‌ی مهندسی پزشکی - بیوالکتریک را در سال ۱۳۸۶ از دانشگاه صنعتی خواجه نصیرالدین طوسی اخذ کرده است. زمینه‌های تحقیقاتی مورد علاقه‌ی وی پردازش تصویر و سیگنال، بینایی ماشین و بازشناسی الگو می‌باشد.

نشانی رایانامک ایشان عبارت است از:

[fjdinan@gmail.com](mailto:fjdinan@gmail.com)



محمد رضایی مدرک کارشناسی خود را در رشته‌ی مهندسی برق - الکترونیک در سال ۱۳۷۵ از دانشگاه صنعتی امیرکبیر (پلی تکنیک تهران) و مدرک کارشناسی ارشد در رشته‌ی مهندسی پزشکی - بیوالکتریک را در سال ۱۳۸۲ از همان دانشگاه اخذ کرده است. زمینه‌های تحقیقاتی مورد علاقه‌ی وی پردازش تصویر و ویدئو، کدینگ تصویر و ویدئو و همچنین بینایی ماشین می‌باشد.

نشانی رایانامک ایشان عبارت است از:

[rezaei.image@yahoo.com](mailto:rezaei.image@yahoo.com)



مریم بیگ‌زاده مدرک کارشناسی خود را در رشته‌ی مهندسی پزشکی - بالینی در سال ۱۳۸۵ از دانشگاه صنعتی امیرکبیر (پلی تکنیک تهران) و مدرک کارشناسی ارشد در رشته‌ی مهندسی پزشکی - بیوالکتریک را در سال ۱۳۸۷ از همان دانشگاه اخذ نموده است. زمینه‌های تحقیقاتی مورد علاقه‌ی وی پردازش تصویر، بینایی ماشین و پردازش سیگنال‌های حیاتی می‌باشد. نشانی رایانامک ایشان عبارت است از:

[mbeigzadeh@gmail.com](mailto:mbeigzadeh@gmail.com)